

# **Staatsexamen Physik**

(Lehramt, nicht-vertieft)

**Frühjahr 2015**

Julian Palme

(Stand: 23. Februar 2015)



Dies ist ein selbst erstelltes Skript auf der Basis alter Staatsexamensaufgaben und  
der Quellen im Quellenverzeichnis. Dieses Dokument ist KEIN officielles Skript und  
wurde gesetzt in L<sup>A</sup>T<sub>E</sub>X von Julian Pahne.

**Inhaltsverzeichnis**

<b>I Mechanik</b>	<b>5</b>
F 2010K, Aufgabe 1: Bungee-Springen . . . . .	5
H 2010K, Aufgabe 2: Rakete . . . . .	5
H 2011K, Aufgabe 1: Straßenverkehr . . . . .	6
H 2011K, Aufgabe 1: Erdbohrung . . . . .	7
F 2012K, Aufgabe 1: Federbein . . . . .	8
H 2012K, Aufgabe 1: Geschwindigkeit und Beschleunigung . . . . .	9
F 2013K, Aufgabe 1: Haftung und Gleitreibung . . . . .	9
H 2013K, Aufgabe 1: Dampfturbine . . . . .	10
<b>II Elektrodynamik</b>	<b>11</b>
F 2010K, Aufgabe 3: Glühemission . . . . .	11
H 2010K, Aufgabe 3: Widerstands-Schaltungen . . . . .	11
F 2011K, Aufgabe 2: Elektrische Ladungen und Felder . . . . .	12
H 2011K, Aufgabe 4: Kapazität und geladene Kugeln . . . . .	14
F 2012K, Aufgabe 3: Ionen im Magnetfeld . . . . .	15
H 2012K, Aufgabe 4: Stromdurchflossener Draht . . . . .	17
F 2013K, Aufgabe 3: Kondensatoren . . . . .	18
H 2013K, Aufgabe 4: Stab im Magnetfeld . . . . .	19
F 2014K, Aufgabe 3: Messung von Hochspannungen . . . . .	20
<b>III Optik</b>	<b>21</b>
F 2010K, Aufgabe 4: Vergütetes Glas . . . . .	21
H 2010K, Aufgabe 4: Totalreflexion . . . . .	21
F 2011K, Aufgabe 4: Astronomisches Teleskop . . . . .	23
H 2011K, Aufgabe 3: Doppelspalt mit Glasplatte . . . . .	25
Kohärenz . . . . .	26
Kohärenzlänge . . . . .	26
F 2012K, Aufgabe 4: Abbildung mit Linsen . . . . .	26
H 2012K, Aufgabe 3: Reflexionsgitter . . . . .	27
F 2013K, Aufgabe 4: Strahlenoptik: Reflexion und Brechung . . . . .	28
H 2013K, Aufgabe 3: Abbildung durch eine Linse . . . . .	28
<b>IV Wärmelehre</b>	<b>30</b>
F 2010K, Aufgabe 2: Ideale Gase in Flaschen . . . . .	30
H 2010K, Aufgabe 1: Geothermie . . . . .	30
F 2011K, Aufgabe 3: Flüssigkeitskalorimeter . . . . .	31
H 2011K, Aufgabe 2: Barometrische Höhenformel . . . . .	32
F 2012K, Aufgabe 2: Fahrradreifen . . . . .	33
H 2012K, Aufgabe 2: Wärmeaustausch . . . . .	33
F 2013K, Aufgabe 2: Mischkalorimeter . . . . .	34
H 2013K, Aufgabe 2: Eisberg . . . . .	34
<b>V Aufbau der Materie I – Quanten, Atome und Moleküle</b>	<b>36</b>
F 2011M, Aufgabe 1: Atome im Magnetfeld . . . . .	36
F 2012M, Aufgabe 1: Quantenzahlen und Atomspektren . . . . .	37
F 2012M, Aufgabe 3: Wasserstoffähnliche Ionen . . . . .	38
H 2012M, Aufgabe 2: Röntgenröhre und Bodyscanner . . . . .	39
F 2013M, Aufgabe 1: Spektrallinien des Wasserstoffatoms . . . . .	40
H 2013M, Aufgabe 1: Helium-Ionen . . . . .	41
<b>VI Aufbau der Materie IIa – Festkörperphysik</b>	<b>43</b>

<b>Literatur</b>	
[Ero14] EROMS, J.: <i>Aufbau der Materie II</i> . Regensburg, 2013/2014.	
[HH02] HAMMER, A. ; HAMMER, H.: <i>Physikalische Formeln und Tabellen</i> . München : J. Lin- dauer Verlag, 2002.	
[MS13] MENDE, D. ; SIMON, G.: <i>PHYSIK – Gleichungen und Tabellen</i> . München : Carl Hauser Verlag, 2013.	
[Rot91] ROTTMANN, K.: <i>Mathematische Formelsammlung</i> . Heidelberg, Berlin : Spektrum Aka- demischer Verlag, 1991.	
<b>VII Aufbau der Materie IIb – Kerne und Teilchen</b>	<b>59</b>
F 2012 M, Aufgabe 2: Kernmasse . . . . .	59
H 2012 M, Aufgabe 4: Kernspaltung und Folgen . . . . .	59
F 2013 M, Aufgabe 2: Uransspaltung . . . . .	60
H 2013 M, Aufgabe 2: Betazerfall des freien Neutrons . . . . .	60
H 2013 M, Aufgabe 3: Bohrsches Atommodell für wasserstoffartige Ionen . . . . .	61
Verständnisfragen . . . . .	43
F 2012 M, Aufgabe 4: Anregungen in Festkörpern . . . . .	50
H 2012 M, Aufgabe 1: Freies Elektronengas . . . . .	51
H 2012 M, Aufgabe 3: Kristallstruktur und elektronische Eigenschaften im Festkörper . . . . .	54
F 2013 M, Aufgabe 3: Kristallstruktur von Festkörpern . . . . .	55
F 2013 M, Aufgabe 4: Elektrische Leitfähigkeit von Festkörpern . . . . .	57
H 2013 M, Aufgabe 4: Stuktur von Aluminium . . . . .	58

## I Mechanik

### F 2010 K, Aufgabe 1: Bungee-Springen

[HH02, S. 10]:  $F = Ds$

$$(a) F_G = F_{\text{Dehnung}} \implies (*) m_1g = Ds \implies D = \frac{mg}{s} = \dots \approx 23 \frac{\text{N}}{\text{m}}$$

$$(b) E_{\text{kin}} = E_{\text{span}} \implies \frac{1}{2}m_2v^2 = \frac{1}{2}Ds^2 \implies v^2 = \frac{Ds^2}{m_2}$$

Aus (a) und (\*) folgt:  $s = \frac{m_2 g t}{D} = \dots \approx 34 \text{ m}$

$$\implies v^2 \approx 336 \cdot 43 \frac{\text{N}}{\text{m kg}} \implies v \approx 18.34 \frac{\text{m}}{\text{s}}$$

$$(c) mgh = \frac{1}{2}Ds^2 \implies h = \frac{1}{2mg} \cdot Ds^2 = \dots = 15 \text{ m}$$

$$(d) [\text{MSI13, S. 243}]: f = \frac{1}{2\pi}\sqrt{\frac{D}{n}} = \dots \approx 0.09 \text{ Hz}$$

- (e) Ursachen: Luftreibung, Reibung im Material selbst  
[MSI13, S. 244]:  $m\ddot{s} + \alpha s + Ds = 0$ , wobei  $\alpha$  der Dämpfungskoeffizient ist.

### H 2010 K, Aufgabe 2: Rakete

$$(a) m\ddot{x} = F_{\text{ges}} = -F_G - F_{\text{Schub}} = -m(t)g(r) - w \cdot \frac{\text{dm}}{\text{dr}}$$

$$\implies \ddot{x} = -g(r) - w \cdot \frac{\dot{m}}{m(t)}$$

(b) Mit  $F_{\text{ges}} = 0$  folgt:

$$\begin{aligned} F_G &= -F_{\text{Schub}} \\ mg &= -w \cdot \underbrace{\frac{\text{dm}}{\text{dt}}}_{=\dot{m}} \\ \implies -\frac{\dot{m}}{m} &= \frac{g}{w} = \dots \approx 0.49 \% \frac{1}{\text{s}} \\ \implies \int_0^t \dot{x} \, dt &= - \int_0^t g \, dt - \int_0^t w \cdot \frac{\dot{m}}{m(t)} \, dt = -gt - w \cdot \int_0^t \frac{\dot{m}}{m(t)} \, dt \\ &= -gt - w \cdot \int_0^t \frac{1}{m(t)} \, dm = -gt - w \left[ \ln(m(t)) - \ln(m(0)) \right] \\ &= -gt - w \cdot \ln\left(\frac{m(t)}{m(0)}\right) - gt = w \cdot \ln\left(\frac{m(0)}{m_0 - mt}\right) - gt \\ &= v(t) \end{aligned}$$

- (d) Berechnete Geschwindigkeit ist kleiner als die reale, da  $g$  von der Entfernung der Erde abhängig ist und mit zunehmender Entfernung abnimmt. Das heißt, es wird ein immer kleinerer Teil  $gt$  subtrahiert und  $v(t)$  wird mit zunehmendem  $r$  – und somit zunehmender

- (f) Massenvergleich:  $m_p < m_n$   
Prozess liefert KEINE Energie  $\Rightarrow$  KEIN spontaner Zerfall

### H 2013 M, Aufgabe 3: Bohrsches Atommodell für wasserstoffartige Ionen

(a) [MSI3, S. 335]:  $rm_e v = n \frac{h}{2\pi} = n\hbar$

$$\frac{m_e v^2}{r} = \frac{1}{4\pi\varepsilon_0} \cdot \frac{Z_e^2}{r^2}$$

$$\Delta E = hf$$

$$r_n = \frac{\varepsilon_0 n^2 h^2}{\pi m_e Z_e^2} = \frac{n^2}{Z} \cdot \frac{\varepsilon_0 h^2}{\pi m_e c^2} \quad \checkmark$$

$$[MSI3, S. 337]: Ry_H = \frac{m_e e^4}{8\varepsilon_0^2 \hbar^2 n^2 c}$$

mit [MSI3, S. 336] folgt:  $E = -\frac{m_e e^4 Z^2}{8\varepsilon_0^2 \hbar^2 n^2 c^3}$

$$[MSI3, S. 403]: a_0 = \frac{\alpha}{4\pi Ry} = \frac{\alpha(2e_0^2 \hbar^3 c)}{\pi m_e c^3}$$

$$[MSI3, S. 407]: Ry = \frac{e^2 m_e c}{2\hbar^2} \Rightarrow \alpha^2 = \frac{\hbar e^4}{4\varepsilon_0^2 \mu^3 c^2}$$

$$a_0^2 = \frac{\hbar^4 \varepsilon_0^2}{\pi^2 m_e^2 c^4} \Rightarrow a_0 = \frac{\hbar^2 \varepsilon_0}{\pi m_e c^2}$$

$$(b) \mu_\pi = \frac{m_{\text{Pe}} m_\pi}{m_{\text{Pe}} + m_\pi} \Rightarrow a_\pi = 193 \text{ fm}$$

$$[MSI3, S. 335]: r_1 = \frac{1}{2} a_\pi = 2.35 \text{ fm}$$

(c) [MSI3, S. 336]:  $E_1 \approx -16.16 \text{ MeV}$  und  $E_2 \approx -40.3 \text{ MeV}$

$$[MSI3, S. 337]: \Delta E = \frac{hc}{\lambda} \Rightarrow \lambda \approx 10.26 \text{ fm}$$

$$(d) E \text{ Anregung} = -hcRy \left( \frac{1}{r_1^2} - \frac{1}{r_2^2} \right)$$

$$[MSI3, S. 162]: E_t = \frac{3}{2} kT = E_{\text{Anregung}} \Rightarrow T = 78900 \text{ K}$$

- (e) mangelnde Energie:  $n = 2$  bei Zimmertemperatur NICHT besetzt  $\Rightarrow$  KEIN Balmer  $\Rightarrow$  pumpen in  $n = 2$ : Elektronenstöße; Bestrahlung mit Photonen mit  $E_{1,2} = 10.2 \text{ eV} \rightsquigarrow \lambda = 121 \text{ nm}$  (Gasentladungsröhre)

Zeit  $t$  – immer größer

$$v = 10^{-4} \cdot c = w \cdot \ln \left( \frac{m_0}{m_0 - \dot{m}t} \right)$$

$$m_n := m_{\text{nutz}} = m_0 - \dot{m}t$$

$$\Rightarrow 10^{-4} \cdot c = w \cdot \ln \left( \frac{m_0}{m_n} \right)$$

$$\Rightarrow \exp \left( \frac{10^{-4} \cdot c}{w} \right) = \frac{m_0}{m_n}$$

$$\Rightarrow \frac{m_n}{m_0} = \frac{1}{\exp \left( \frac{10^{-4} \cdot c}{w} \right)} \approx 3.09 \cdot 10^{-7} = 3.09 \cdot 10^{-5} \%$$

$$w = c \Rightarrow \frac{m_n}{m_0} = \frac{1}{\exp(10^{-4})} \approx 99.99 \%$$

Problem: Umwandlung von 0.01 % der Raketenmasse in Photonen in einer endlichen Zeitspanne ist NICHT möglich.

### F 2011 K, Aufgabe 1: Straßenverkehr

$$(a) v = \frac{s}{t} \Rightarrow s = vt$$

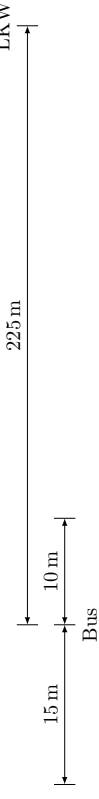


$$\Delta v = v_{\text{PKW}} - v_{\text{Bus}} = \frac{40 \text{ m}}{9 \text{ s}}$$

$$\Rightarrow \Delta t = \frac{\Delta s}{\Delta v} = \frac{45}{8} \text{ s}$$

$$\Rightarrow s_{\text{PKW}} = v_{\text{PKW}} \cdot \Delta t = 112.5 \text{ m}$$

(b) Skizze:



$$\Rightarrow \Delta s_{\text{LKW}} = 225 \text{ m} - 10 \text{ m} = 215 \text{ m}$$

$$\Delta s = \Delta s_{\text{LKW}} - s_{\text{PKW}} = 102.5 \text{ m}$$

$$\Rightarrow v_{\text{LKW}} = \frac{\Delta s}{\Delta t} = \dots \approx 18.2 \frac{\text{m}}{\text{s}} = 65.6 \frac{\text{km}}{\text{h}}$$

(c) [MSI3, S. 68]: Zentripetalkraft:  $F_Z = m \cdot \frac{v^2}{r_K}$

[MSI13, S. 69]: Haftreibungskraft:  $F_R = \mu_0 F_N = \mu_0 r n g$

$$\begin{aligned} F_Z &= F_R \\ \Rightarrow v &= \sqrt{\mu_0 g r K} \\ \Rightarrow v_{tr} &\approx 10.1 \frac{\text{m}}{\text{s}} \approx 36.5 \frac{\text{km}}{\text{h}} \\ v_{tl} &\approx 4.54 \frac{\text{m}}{\text{s}} \approx 16.3 \frac{\text{km}}{\text{h}} \end{aligned}$$

- (d) Spoiler sind so gebaut, dass auf Grund des Luftstroms um die Spoiler herum eine resultierende Kraft nach unten in Richtung  $F_N$  und somit in Richtung  $F_R$  wirkt. Die „Anpresskraft“ des Autos ( $F_N$ ) wird also verstärkt. Mit obigen Formeln gilt also, dass bei größerem  $F_N$  auch die Geschwindigkeit höher gewählt werden kann.

$$\begin{aligned} (\text{e}) \quad P &= \frac{W}{t} \implies W = P t \\ [\text{MSI13, S. 74}]: \quad v_0 &= 0 \implies W = \frac{1}{2} m v^2 \implies t = \frac{m v^2}{2 P} \approx 2.41 \text{s} \end{aligned}$$

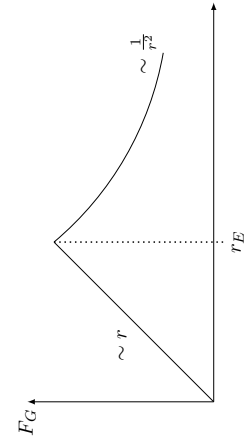
### H 2011 K, Aufgabe 1: Erdbohrung

- (a)  $F_G = 0$ . Durch die vollkommene Kugelsymmetrie heben sich die Kräfte von allen Seiten auf (Analogie E-Lehre: homogen geladene Kugel).

$$(\text{b}) \quad F_G = G \cdot \frac{m M_E(r)}{r^2} \quad (\text{Analogie Coulombgesetz})$$

Nur Masse innerhalb des Radius  $r$  ist entscheidend!!!  
homogene Dichte der Erde:  $\varrho_E = \frac{M_E}{V_E}$

$$\begin{aligned} \implies M_E(r) &= \varrho_E \cdot V_E(r) = \varrho_E \cdot \frac{4}{3} \cdot r^3 \cdot \pi \\ \implies F_G(r) &= G \cdot \frac{m M_E(r)}{r^2} = \frac{4}{3} \pi G m \varrho r \quad \text{für } r < r_E \\ F_G(r) &= G \cdot \frac{m M_E}{r^2} \quad \text{für } r > r_E \end{aligned}$$



- (c) [MSI13, S. 87]: Gravitationspotential:  $V_G = \int_{\infty}^r \varrho_0 \, dr' = \frac{r}{m} \int_{\infty}^r \frac{F_G(r')}{m} \, dr' \stackrel{(b)}{=} \frac{2}{3} \cdot \pi G m \varrho r^2$   
 $V_G$  ist an beiden Enden der Bohrung gleich hoch mit Minimum im Mittelpunkt.  
Rückstellende Kraft ist linear, also ist das Potential harmonisch (quadratisch). Es gilt:
- $$-m\ddot{r} = \frac{4}{3} \cdot \pi G m \varrho r \implies \ddot{r} = -\frac{4}{3} \cdot \pi G \varrho r$$

- (e)  $E^2 = c^2 p^2 + E_0^2$  mit  $E_{0,\tilde{p}} = 0$   
 $\implies p_\nu = \frac{E_\nu}{c} = 3.12 \cdot 10^{-22} \frac{\text{kg m}}{\text{s}}$

- (c)  $\Delta m = m_n - (m_p + m_e) \implies E_{\text{ges}} = \Delta m c^2 = 784.8 \text{ keV}$  ([MSI13, S. 329])

- (d)  $E_{\text{ges}} = E_{\text{kin},p} + E_{\text{kin},e} + E_{\bar{\nu}} \implies E_{\bar{\nu}} = 584.1 \text{ keV}$

- (b)  $p_e = e B r_P = 5.21 \cdot 10^{-22} \frac{\text{kg m}}{\text{s}}$

$$\bullet E_{\text{kin},p} = \frac{1}{2} \frac{p_P^2}{m_P} = 505.9 \text{ eV}$$

$$\begin{aligned} (\text{a}) \quad [\text{MSI13, S. 375}]: \quad T_{\frac{1}{2}} &= \frac{\ln(2)}{\lambda} = 617.8 \text{ s} \\ (\text{d}) \quad \text{MERKE: } p &= e B r \end{aligned}$$

$$[\text{MSI13, S. 85}]: \quad E_k = \frac{p^2}{2m}$$

Proton

$$\bullet p_p = e B r_P = 5.21 \cdot 10^{-22} \frac{\text{kg m}}{\text{s}}$$

$$\bullet E_{\text{kin},p} = \frac{1}{2} \frac{p_P^2}{m_P} = 505.9 \text{ eV}$$

Elektron

$$\bullet p_e = 2.64 \cdot 10^{-22} \frac{\text{kg m}}{\text{s}}$$

$$\bullet [\text{HH02, S. 55}]: \quad E_0 = m_e c^2 = E^2 - c^2 p^2 \implies E_{\text{kin},e} = E - E_0 = 200.2 \text{ keV}$$

## VII Aufbau der Materie IIB – Kerne und Teilchen

### F2012 M, Aufgabe 2: Kernmasse

- (a) Tröpfchenmodell: geladener Flüssigkeitstropfen
  - verformbar, aber konstantes Volumen
  - Wechselwirkung hauptsächlich zwischen nächsten Nachbarn
    - Protonen haben Ladung  $+e$
- (b) [MSI3, S. 372]:  $E = Bc^2 = (Zm_p + Nm_n - mK)c^2$
- (c) **MERKE:**
  - $a_v A$ : Volumenanteil
  - $V_K \propto A$ , da  $\varrho = \text{const}$
  - $a_s A^{\frac{2}{3}}$ : Oberflächenanteil
  - Oberfläche  $\propto R^2 \propto A^{\frac{2}{3}}$ , wobei  $R$  der Kernradius ist
  - $a_c \frac{Z^2}{A^{\frac{1}{3}}}$ : Coulombanteil
  - $E_c \propto q^2 \propto Z^2$  und  $E_c \propto \frac{1}{r} \propto \frac{1}{A^{\frac{1}{3}}}$

(d) **BILD**

**Skizze**

- (e) isobare Nuklide:  $A = \text{const}$ ,  $N$  und  $Z$  variieren  
ersetzen in  $M(A,Z)$  alle  $N$  mit  $N = A - Z$  und erhalte

$$M(A,Z) = Z^2(a_e A^{-\frac{1}{3}} + a_a A^{-1}) - Z(M_n + a_a - M_p) + A(M_n - a_v + a_s A^{-\frac{1}{3}} + \frac{a_a}{4} + \delta A^{-\frac{3}{2}})$$

Kern am stabilsten, wann  $M(A,Z)$  minimal, also wenn gilt:

$$\frac{dM}{dZ} \stackrel{!}{=} 0 \iff Z(A=101) = 49.47 \approx 49$$

### H2012 M, Aufgabe 4: Kernspaltung und Folgen

- (a)  $^{133}\text{Te} \rightarrow^{133}_{53} \text{J} + ^0_{-1} e + \bar{\nu}_e + Q$   
 $^{133}_{53} \text{J} \rightarrow^{133}_{54} \text{Xe} + ^0_{-1} e + \bar{\nu}_e + Q$   
 $^{133}_{54} \text{Xe} \rightarrow^{133}_{55} \text{Cs} + ^0_{-1} e + \bar{\nu}_e + Q$
- (b)  $^{131}_{53} \text{J} \rightarrow^{131}_{54} \text{Xe} + ^0_{-1} e + \bar{\nu}_e + Q$
- (c) [MSI3, S. 375]:  $A = \lambda N = \frac{\lambda m}{A \cdot r^{-\frac{1}{2}}} \text{ und } \lambda = \frac{\ln(2)}{T_{\frac{1}{2}}}$   
 $\Rightarrow m = 1.8 \cdot 10^{-17} \frac{\text{kg}}{\text{m}^2}$
- (d) [MSI3, S. 375]:  $A = \frac{\ln(2)}{T_{\frac{1}{2}}} \cdot N$   
 $\Rightarrow A_J = \frac{A_1}{A_{\text{Cs}}} = 274$   
 $\Rightarrow A_J = 274 \cdot A_{\text{Cs}}$ , da Unterschied der  $T_{\frac{1}{2}}$  größer als der Unterschied der Entstehungsraten
- (e)  $\omega^2 > 0$ , also  $\alpha^2 < 4mk$ : gedämpfte Schwingung
- $\omega^2 = 0$ , also  $\alpha^2 = 4mk$ : aperiodischer Grenzfall
- $\omega^2 < 0$ , also  $\alpha^2 > 4mk$ : Kriechfall
- $\alpha_g = \sqrt{4mk} \approx 4.77 \cdot 10^3 \frac{\text{kg}}{\text{s}}$

**H 2012 K, Aufgabe 1: Geschwindigkeit und Beschleunigung**

- (a)  $\vec{v}$  immer tangential zur Bahnbahnkurve  
 $\vec{a}$  immer senkrecht zur Erde mit  $a = g$

(b) Skizze:



(i)

$$v'_{\text{LKW}2} - v_{\text{LKW}1} = \frac{25}{18} \text{ m}$$

$$t := \frac{25}{18} \frac{\text{m}}{\text{s}} : 0.50 \frac{\text{m}}{\text{s}^2} = \frac{25}{9} \text{ s}$$

$$x(t) = \frac{a_t t^2}{2} = \frac{625}{324} \text{ m}$$

$$t_{\text{ges}} := \left[ 20 + 12 + 50 + 12 - \frac{625}{324} \right] \text{ m} : \frac{25}{18} \frac{\text{m}}{\text{s}} \approx 66.291 \text{ s}$$

 $\Rightarrow$  Überholvorgang dauert ca. 69.1 s

$$(ii) s_{\text{ges}} := (20 + 12 + 50 + 12) \text{ m} + v_{\text{LKW}1} \cdot t_{\text{ges}} \approx 1.63 \text{ km}$$

$$(iii) [\text{MSI3, S. 75}]: P = \frac{W_H}{t} = \frac{E_{\text{kin},2} - E_{\text{kin},1}}{t} = \frac{1}{2} m \frac{v_{\text{LKW}2}^2 - v_{\text{LKW}1}^2}{t} \approx 230 \text{ kW}$$

$$(iv) [\text{HH02, S. 31}] \text{ oder } [\text{MSI3, S. 107}]: F_w = c_w A \frac{v^2}{2}$$

Beschleunigung

$$\begin{aligned} &[\text{MSI3, S. 73}]: W_a = \int_0^{x'} F(s) \, ds = \frac{1}{2} c_w A \varrho \int_0^{x'} v^2 \, ds \\ &\text{mit } [\text{MSI3, S. 33}] \text{ folgt: } W_a = \frac{1}{2} c_w A \varrho \int_0^{x'} (v_{\text{LKW}1}^2 + 2as) \, ds = \frac{1}{2} c_w A \varrho [v_{\text{LKW}1}^2 s + as^2]_0^{x'} \end{aligned}$$

mit  $x' \stackrel{(i)}{=} x(t) + v_{\text{LKW}1} t$  folgt:  $W_a \approx 98.16 \text{ kJ}$ Überholen

$$W_u = F \cdot x(t) = \frac{1}{2} c_w A \varrho v_{\text{LKW}2}^2 (s_{\text{ges}} - x') \approx 2.729 \text{ MJ}$$

in (iii) gilt:  $W_B = \frac{1}{2} m (v_{\text{LKW}2}^2 - v_{\text{LKW}2}^2) \approx 641.2 \text{ kJ}$ 

$$\Rightarrow P = \frac{W_a + W_u + W_B}{t + t_{\text{ges}}} \approx 50.2 \text{ kW}$$

**F 2013 K, Aufgabe 1: Haftung und Gleitreibung**

- (a)
- BILD**
- im Fall (i) wirkt
- $\vec{F}_R$
- in Richtung Hang nach unten; im Fall (ii) nach oben

- (b)
- $F_H = F_{G,1} \Rightarrow F_{G,1} \cdot \sin(\alpha) = m_2 \cdot g \Rightarrow m_2 \approx 7.28 \text{ kg}$

**H 2013 M, Aufgabe 4: Sturktur von Aluminium**

<b>BILD</b>	<b>Skizze</b>
-------------	---------------

(a)  $N$  Atome pro Einheitszelle:  $8 \cdot \frac{1}{8} + 6 \cdot \frac{1}{2} = 4$ 

$$[\text{MSI3, S. 48}]: \varrho_{\text{Al}} = \frac{M_{\text{EZ}}}{V_{\text{EZ}}} = \frac{N \cdot m_{\text{Al}}}{a_0^3} \Rightarrow n_{\text{Al}} = \frac{N}{a_0^3} = \frac{\varrho_{\text{Al}}}{m_{\text{Al}}}$$

mit  $\varrho_{\text{Al}} = 2.7 \frac{\text{g}}{\text{cm}^3}$  und  $m_{\text{Al}} = 26 \text{ u}$  folgt:  $a_0 = 0.4 \text{ nm}$

<b>BILD</b>	<b>Skizze</b>
-------------	---------------

Interferenzringe: polykristalline Probe  
 $\rightarrow$  alle Kristallorientierungen gleichzeitig vorhanden  
jeder Ring repräsentiert ein  $\Theta_{hkl} \rightarrow d_{hkl}$  und Beugungsordnung  $n$

$$\sin(\Theta) = \frac{\Delta s}{d} = \frac{\Delta s}{\frac{a_0}{n}}$$

$$[\text{MSI3, S. 360}]: \sim \Delta s = n \lambda = 2d \sin(\Theta)$$

$$(c) 2\Theta = 60^\circ$$

$$d_{200} = \frac{a_0}{2} = 0.2 \text{ nm} \stackrel{(b)}{\Rightarrow} \lambda = 0.2 \text{ nm}$$

$$(d) \Delta s_{100} = \frac{1}{2} \lambda, \text{ damit Intensitätsmaximum}$$

$$\Delta s_{200} = \frac{1}{2} \Delta s_{100} = \frac{1}{2} \lambda \rightarrow \text{destructive Interferenz mit „Nachbarstrahl“} \Rightarrow \text{KEIN Maximum}$$

$$(e) [\text{MSI3, S. 333}]: E = hf = \frac{hc}{\lambda} = 6.2 \text{ keV}$$

$$(f) [\text{MSI3, S. 333}]: \lambda_\gamma = \lambda_N = \frac{h}{p} \rightarrow \text{FSR85}; E_{\text{kin},n} = \frac{p^2}{2m_N} = \frac{h^2}{2m_N \lambda^2} = 20 \text{ meV}$$

*Bemerkung:* definierter Impuls  $p$  heißt freies Teilchen  $\Rightarrow$  de Broglie

$$\begin{aligned} \left( f \right) \frac{d\theta_{hkl}}{d\Theta} = \frac{\lambda}{2} \cdot \frac{\cos(\Theta)}{\sin(\vartheta)} &\stackrel{!}{\iff} \Theta = 90^\circ \\ \implies d_{hkl} = \frac{\lambda}{2} &\approx 0.77 \text{ Å} \end{aligned}$$

#### F2013 M, Aufgabe 4: Elektrische Leitfähigkeit von Festkörpern

(a) Halbleiter am absoluten Nullpunkt sind Isolatoren.

- (c)  $F_H + F_R = F_{G,2} \implies F_{G,1} \cdot \sin(\alpha) + \mu \cdot F_{G,1} \cdot \cos(\alpha) = m_2 \cdot g \implies m_2 \approx 12.75 \text{ kg}$
- (d)  $F_H = F_{G,2} + F_R \implies F_{G,2} = F_H - F_R \implies m_2 \approx 1.8 \text{ kg}$
- (e) Masse  $m_2$ :

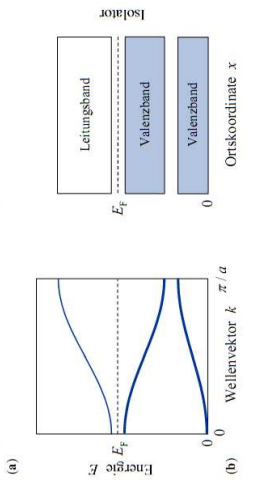
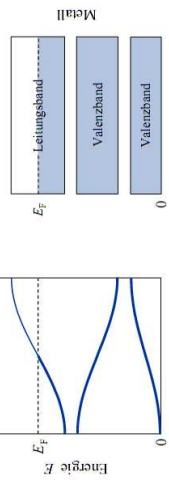
$$F = F_G - F_Z$$

$$m_2 a = m_2 g - F_Z \iff a = \frac{m_2 g - F_z}{m_2} \quad (*)$$

Masse  $m_1$ :

$$F = F_z - F_H - F_R$$

$$\begin{aligned} m_1 a &= F_z - m_1 g \sin(\alpha) - \mu m_1 g \cos(\alpha) \quad (***) \\ \iff a &= \frac{F_z - m_1 g (\sin(\alpha) + \mu \cos(\alpha))}{m_1} \end{aligned}$$



Diese Folie wurde [Ero14] entnommen.

Metall:  $E_F$  innerhalb des Leitungsbandes; Valenzband und Leitungsband überlappen bei Anlegen einer geringen elektrischen Feldstärke  $\rightsquigarrow$  Elektronen können kleine Energieniveaus aufnehmen und in höheren Energiezustand wechseln  $\longrightarrow$  Beitrag zum elektrischen Stromfluss

Isolatoren/Halbleiter: Bandlücke beim Halbleiter ist zwischen 0.1 eV und 3 eV; Temperaturhöhung oder Beladung des Halbleiters  $\implies$  einige Elektronen können Bandlücke überwinden  $\longrightarrow$  Leitungsband  $\implies$  Stromfluss

(b) Metall: Leitungsband und Valenzband überlappen  $\implies$  Konzentration freier Ladungsträger relativ unabhängig

Halbleiter:  $T = 0 \implies$  Halbleiter ist Isolator; Je höher  $T$ , desto höher die Ladungsträgerdichte  $\rightsquigarrow$  Bandlücke muss erst überwunden werden

- (c)  $F_H + F_R = F_{G,2} \implies F_{G,1} \cdot \sin(\alpha) + \mu \cdot F_{G,1} \cdot \cos(\alpha) = m_2 \cdot g \implies m_2 \approx 12.75 \text{ kg}$
- (d)  $F_H = F_{G,2} + F_R \implies F_{G,2} = F_H - F_R \implies m_2 \approx 1.8 \text{ kg}$
- (e) Masse  $m_2$ :

$$\text{Mit } (*) \text{ und } (**) \text{ folgt: } F_z = m_1 m_2 g \cdot \frac{1 + \sin(\alpha) + \mu \cos(\alpha)}{m_1 + m_2}$$

$$(f) \text{ mit (e) bzgl. } (**) \text{ folgt: } a \approx 1.3 \frac{\text{m}}{\text{s}^2}$$

#### H2013 K, Aufgabe 1: Dampfturbine

$$(a) [\text{MSI13, S. 82}]: E_{\text{rot}} = \frac{1}{2} I_x \omega^2 = \frac{L^2}{2 L_x}$$

$$[\text{MSI13, S. 83}]: L = I_x \omega$$

$$[\text{MSI13, S. 254}]: \omega = 2\pi\nu$$

$$\begin{aligned} \implies E_{\text{rot}} &\approx 19 \text{ GJ} \text{ und } L \approx 0.12 \cdot 10^9 \frac{\text{kg} \cdot \text{m}^2}{\text{s}} \\ (b) U &= 2\pi \frac{d}{2} \approx 11.94 \text{ m} \end{aligned}$$

$$\begin{aligned} \implies v &= 50 \text{ Hz} \cdot 11.92 \text{ m} \approx 0.60 \frac{\text{km}}{\text{s}} \\ (\text{Hunklinger}) \end{aligned}$$

$$(c) [\text{MSI13, S. 82}]: P = M\omega \implies M = \frac{P}{\omega} \approx 4.1 \cdot 10^6 \text{ Nm}$$

$$(d) P_K \neq P_{\text{Last}} = \text{const}$$

$$\omega(0) = \omega_0$$

$$\Delta E_{\text{rot}} = E_{\text{rot}}(t=0) - E_{\text{rot}}(t) = \frac{1}{2} I_x [\omega_0^2 - \omega^2(t)]$$

$$\begin{aligned} \text{Energiezufuhr/-abnahme: } \Delta P &= P_{\text{Last}} - P_K = \text{const} \\ \Delta E_{\text{rot}} &= \Delta P \cdot t = \frac{1}{2} I_x [\omega_0^2 - \omega^2(t)] \quad (*) \\ \implies \omega(t) &= \sqrt{\omega_0^2 - \frac{2\Delta P t}{I_x}} \end{aligned}$$

- (e) mit (\*) aus (d) folgt:  $t = \frac{1}{2} \cdot \frac{J_x}{\Delta P} [\omega_0^2 - (2\pi\nu_{\text{krit}})^2] \approx 4.42 \text{ s}$

## II Elektrodynamik

### F2010 K, Aufgabe 3: Glühemission

- (a) [MSI3, S. 174]:  $\varrho = \varrho_0(1 + \alpha\Delta T) = \dots = 4.64 \cdot 10^{-7} \Omega \text{ m}$   
 [MSI3, S. 170]:  $R = \varrho \cdot \frac{l}{A} = \varrho \cdot \frac{l}{\pi b^2} = \dots \approx 92.9 \text{ m}\Omega$
- (b) [MSI3, S. 324]:  $P = \varepsilon\sigma A(T_B^4 - T_U^4)$   
 [MSI3, S. 322]:  $\varepsilon = 1$  für schwarze Körper  $\Rightarrow P = \sigma A(T_B^4 - T_U^4) = \dots \approx 27.31 \text{ W}$   
 [MSI3, S. 181]:  $P = I^2 R \Rightarrow I = \sqrt{\frac{P}{R}} = \dots \approx 17.15 \text{ A}$
- (c) [MSI3, S. 169]:  $J = \frac{I}{A} \Rightarrow I_S = J \cdot A$   
 Mit  $J = j_s$  folgt:  $I_S = CT^2 \exp\left(-\frac{W}{kT}\right) \cdot A = 10.98 \frac{\text{A}}{\text{m}^2} \cdot \underbrace{\frac{db}{=6.59 \cdot 10^{-7} \text{ m}^2}}_{\approx 7.24 \mu\text{A}}$

$$(d) \text{ Reihenschaltung: } U = U_R + U_B = RI_H + R_B I_H \Rightarrow R = \frac{U}{I_H} - R_B = \dots \approx 13.32 \Omega$$

[MSI3, S. 181]:  $P_{\text{Verlust}} = RI_H^2 \approx 3.92 \text{ kW}$

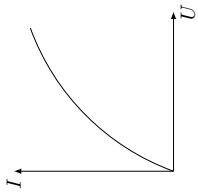
effizienter: Transformator: [MSI3, S. 267]:  $P = I_1 U_1 = I_2 U_2 = R_B I_H^2$   
 $\rightsquigarrow$  geringere Stromaufnahme auf Primärseite

### H 2010 K, Aufgabe 3: Widerstands-Schaltungen

$$(a) R = \frac{U}{I}$$

(1) hoher Einschaltstrom  $\Rightarrow$  Widerstand klein

(2) bei gewisser Spannung  $U$  stellt sich  $I$  anhand der Kenndaten der Lampe ein:  
 $P = U \cdot I \Rightarrow I = \frac{P}{U}$



$$(b) U_{\text{Reihe}} = U_1 + U_2 + \dots \\ U_{\text{Parallel}} = U \\ \Rightarrow U_3 = U_5 < U_6 < U_2 < U_4 < U_1$$

$$(c) \text{ Parallelschaltung: } \frac{1}{R} = \frac{1}{R_1} + \frac{1}{R_2} + \dots \\ \text{Reihenschaltung: } R = R_1 + R_2 + R_3 + \dots$$

$$(1) \frac{1}{R_a} = \frac{1}{R} + \frac{1}{R} = \frac{2}{R} \Rightarrow R_a = \frac{R}{2}$$

$$(2) R_b = \frac{R}{2} + R = \frac{3}{2}R$$

$$(3) \frac{1}{R_c} = \frac{1}{R} + \frac{1}{\frac{3}{2}R} = \frac{5}{3R} \Rightarrow R_c = \frac{3}{5}R$$

$$(4) R_d = \frac{3}{5}R + R = \frac{8}{5}R$$

$$(5) \frac{1}{R_{\text{ges}}} = \frac{1}{R} + \frac{1}{\frac{8}{5}R} = \frac{13}{8R} \Rightarrow R_{\text{ges}} = \frac{8}{13}R \\ U = R \cdot I \Rightarrow I = \frac{U}{R} \Rightarrow I_{\text{ges}} = \frac{U}{R_{\text{ges}}} = \frac{U}{\frac{8}{13}R}$$

- Mesung lässt sich am besten mit Ewaldkugel darstellen

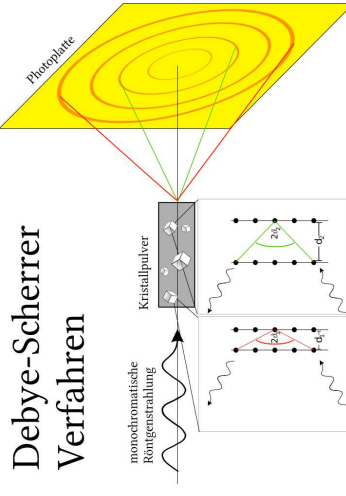
- Annahme: Drehachse liegt in kristallographischer  $c$ -Richtung, das heißt, die reziproken Gitterebenen vom Typ  $(h, k, m)$  stehen senkrecht zu dieser Achse
- Drehen des Kristalls um  $c \Rightarrow$  Ebenen schneiden Ewaldkugel in einem Kreis
- vom Kristall gebeugte Strahlen liegen auf (Laue-)Kegel, dessen Achse in Richtung der Drehachse liegt  $\Rightarrow$  auf Film bilden diese Reflexe eine Linie
- Öffnungswinkel der Kegel hängt von  $\lambda$  und der  $c$ -Gitterkonstanten ab
- Bestimmung der Gitterkonstante  $c$  aus dem Abstand  $y_m$  der zum  $m$ -ten Lauekegel gehörenden Linie von der Linie  $m = 0$ :

$$(d) c = \frac{m\lambda}{\sin(\arctan\left(\frac{y_m}{r_F}\right))}$$

- Anwendung der Drehkristallmethode setzt NICHT voraus, dass gemessene Kristallrichtung die Richtung einer Gitterachse ist
- mit diesem Verfahren lässt sich für jeden Punkt des Kristallgitters die dazugehörige Länge des Gittervektors bestimmen

### Debye-Scherrer-Methode<sup>8</sup>

## Debye-Scherrer Verfahren

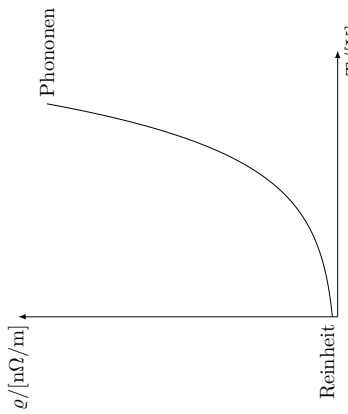


- polykristalline bzw. pulverförmige Probe
- alle Winkel treten zufällig auf  $\Rightarrow$  man erhält immer ein Beugungsbild, das aus Ringen besteht

$$(e) [\text{MSI3, S. 354}]: E_\lambda = \frac{hc}{\lambda} \approx 8.05 \text{ keV} \\ [\text{MSI3, S. 360}]: n\lambda = 2d \sin(\alpha) \\ \text{Peak} \Rightarrow n = 1 \Rightarrow d_{hkl} \approx 1.67 \text{ \AA}$$

**MERKE:**  $d_{hkl} = \frac{q}{\sqrt{k^2 + q^2 + l^2}}$   $\Rightarrow g \approx 3.73 \text{ \AA}$

<sup>8</sup>[http://upload.wikimedia.org/wikipedia/commons/f/fa/Debye\\_scherrer\\_verfahren.svg](http://upload.wikimedia.org/wikipedia/commons/f/fa/Debye_scherrer_verfahren.svg) (Zugriff am 21.02.2015)



- (d)  $I \uparrow \Rightarrow$  Verlustleistung  $\uparrow \rightsquigarrow$  Draht wird heißer  
Es folgt:

(1) Abstrahlleistung steigt/wird heller

- (2) Wiensches Verschiebungsgesetz  $\Rightarrow$  Wellenlängenintensitätsmaximum wird zu kleineren  $\lambda$  verschoben  
[MSI3, S. 325]:  $\lambda_{\max} \cdot T = b$  mit  $b$  als Wiensche Konstante

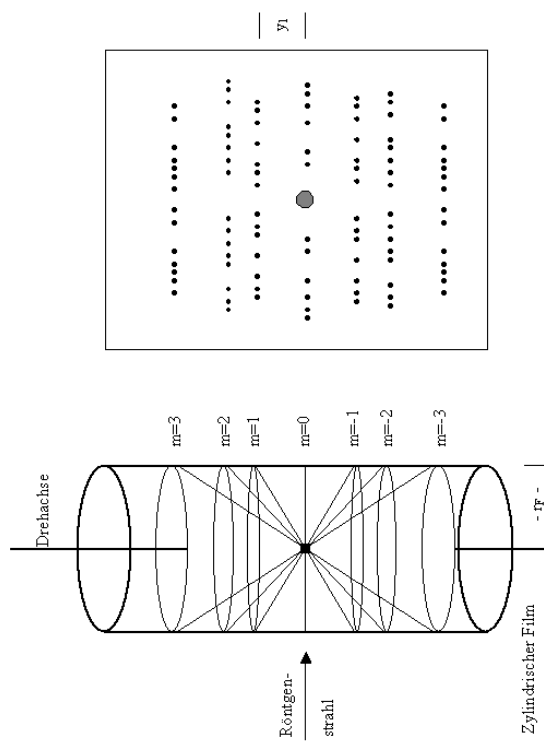
$L_1$  hat höchsten Strom  $\Rightarrow$  höchster Blauanteil

### F 2013 M, Aufgabe 3: Kristallstruktur von Festkörpern

**BILD** Skizze

- (b)  $N_{Fe} = \frac{1}{8} \cdot 8 + 1 = 2$  und  $N_{Au} = \frac{1}{8} \cdot 8 + \frac{1}{2} \cdot 6 = 1 + 3 = 4$   
(c) [MSI3, S. 48]:  $\varrho = \frac{Nm}{V}$ , wobei  $V = g^3$  (Würfel) gilt:  $\varrho_{Fe} \approx 7.93 \frac{t}{m^3}$  und  $\varrho_{Au} \approx 19.3 \frac{t}{m^3}$

(d) Drehkristallmethode<sup>7</sup>



Lauegel bei einer Drehkristallaufnahme  
m: Ordnung des Lauegels

<sup>7</sup><http://commons.wikimedia.org/wiki/File:Drehkristall.png> (Zugriff am 21.02.2015)

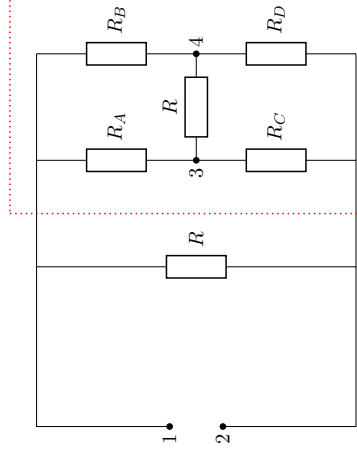
- (d)  $I \uparrow \Rightarrow$  Verlustleistung  $\uparrow \rightsquigarrow$  Draht wird heißer  
Es folgt:

(1) Abstrahlleistung steigt/wird heller

- (2) Wiensches Verschiebungsgesetz  $\Rightarrow$  Wellenlängenintensitätsmaximum wird zu kleineren  $\lambda$  verschoben  
[MSI3, S. 325]:  $\lambda_{\max} \cdot T = b$  mit  $b$  als Wiensche Konstante

$L_1$  hat höchsten Strom  $\Rightarrow$  höchster Blauanteil

(e) Tetraeder-Schaltung:



Wheatstonesche Brückenschaltung  
mit Gesamtwiderstand  $R_W$

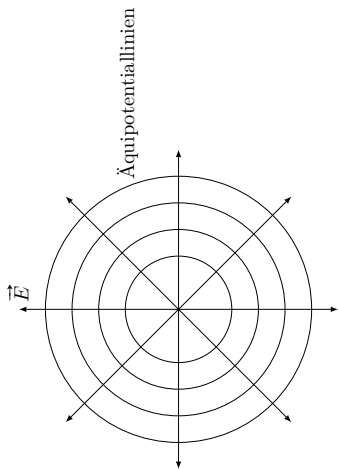
$$\begin{aligned} [\text{MSI3, S. 179}]: \frac{R_A}{R_B} = \frac{R_C}{R_D} &\Rightarrow I_{34} = 0 \\ \frac{1}{R_{\text{ges}}} &= \frac{1}{R} + \frac{1}{2R} + \frac{1}{2R} = \frac{2}{R} \\ &= \frac{1}{R_W} \end{aligned}$$

- (f)  $U_{\text{ges}} = U_{12} + U_{23}$  und  $U_{13} = U_{23} \Rightarrow U_{23} = \frac{1}{2} \cdot U_{\text{ges}}$   
(g)  $I_{34} = 0 \rightsquigarrow$  siehe (c) ( $U_{34} = 0$ ) und  $I_{13} = \frac{1}{2} \cdot I_{\text{ges}}$ , da  $R = R_W$

Abgerollte Filmaufnahme  
- rF -

### F 2011 K, Aufgabe 2: Elektrische Ladungen und Felder

(a) Skizze:



[MSI3, S. 183]:  $U_{ab} = \varphi_b - \varphi_a = \frac{Q_1}{4\pi\epsilon_0} \cdot \left( \frac{1}{x_{a,1}} - \frac{1}{x_{b,1}} \right) \approx 115.04 \text{ V} \approx 115 \text{ V}$

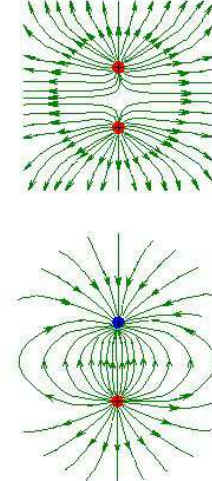
(b) Sei  $x_{q,0} := x_q(t=0) = 10 \text{ cm}$  und sei  $x_{q,t} := 8 \text{ cm}$ .

[MSI3, S. 182]:  $F = qE = q \cdot \frac{Q}{4\pi\epsilon_0 r_{q,0}^2}$

$$F = m_q a \implies a = \frac{F}{m_q} = \frac{Q}{4\pi\epsilon_0 r_{q,0}^2 m_q}$$

$$[MSI3, S. 38]: v = \sqrt{v_0^2 + 2as} \stackrel{\text{hier}}{=} \sqrt{v_{t,a}^2 + 2 \cdot \frac{Q}{4\pi\epsilon_0 r_{q,0}^2 m_q} \cdot (x_{q,0} - x_{q,t})}$$

(c)  $E = 0$  bei  $x = (10 \text{ cm}, 0 \text{ cm})$   $\rightsquigarrow$  Felder entgegengesetzt gleich  $\implies$  heben sich auf  
Im folgenden Bild<sup>1</sup> ist die mittlere Grafik (gleichnamige Ladungen) von Bedeutung:



radialsymmetrisches Feld  
einer Punktladung im Mittelpunkt  
einer entgegengesetzten  
angelaadenen Kugel

(d)  $q = +0.1 \text{ nC}$

- (i) KEINE Kraft in  $y$ -Richtung; Feldminimum  $E = 0$  bei  $(10 \text{ cm}, 0 \text{ cm})$  für  $q > 0$   
 $\implies$  rücktreibende Kraft
- (ii) KEINE Kraft in  $x$ -Richtung; Feldminimum  $\rightarrow \pm\infty$  für  $q > 0 \implies$  Bewegung entlang  $y$ -Achse, weg von  $x$ -Achse
- (iii) KEINE Kraft in  $y$ -Richtung; Feldminimum bei  $x_a$  und  $x_b$  für  $q < 0 \implies$  Bewegung in Richtung  $Q_1$  oder  $Q_2$

$$q = -0.1 \text{ nC}$$

- (iv) 

reine Metalle	tiefe Temperaturen	Zimmertemperatur
Legierungen	Verunreinigungen	Phonen

<sup>1</sup>[http://elektroniktutor.oszkim.de/grundlagen/gr\\_pict/efeldlin.gif](http://elektroniktutor.oszkim.de/grundlagen/gr_pict/efeldlin.gif) (Zugriff am 27.12.2014)

### H 2012 M, Aufgabe 3: Kristallstruktur und elektronische Eigenschaften im Festkörper

$$A = \pi \cdot 2kT \cdot \frac{2k_F}{h} \left[ = \pi \cdot \text{Breite} \cdot \text{mittlerer Radius} \right]$$

$$\# \text{ in } k_F: \frac{k_F}{\pi k_F^2} \implies 4 \cdot \frac{kT}{\hbar k_F} = 4 \cdot \frac{E_{\text{therm}}}{E_{\text{Fermi}}} = 4 \cdot \frac{\text{meV}}{eV} \rightarrow \sim 10^{-3}$$

Im klassischen Elektronengas würden alle  $e^-$  zu  $c_V$  beitragen.

(a)

(b)

(c) (i) Tight-Binding-Modell:

- Ausgangspunkt: Wellenfunktionen und Energieniveaus der isolierten Atome
- Annäherung der isolierten Atome  $\implies$  Überlappung der Wellenfunktionen und Verbreiterung der Energieniveaus zu Bändern
- Kernnahe Wellenfunktionen überlappen fast gar nicht  $\implies$  atomare Niveaus bleibend erhalten
- äußere Schalen: Wellenfunktionen überlappen stark  $\implies$  Energieniveaus verbleiben stark  $\implies$  Energiebänder überdecken sich

- (ii) fast-freies-Elektronengas  
so kleines periodische Potential  $V(\vec{r}) \neq 0$ , dass Elektronen fast frei sind;  
Alweichungen nur an Stellen, wo sich zwei Parabeln schneiden: es öffnen sich Energiegelenken der Größe  $2 \cdot |V_G|$  (Fourier-Komponente von  $V$ ,  $G$  nötig, um Wellenfunktion in 1. Brillouin-Zone zurückzuschreiben)  
 $\implies$  NICHT mehr alle Energiewerte erlaubt  
 $\implies$  Bänder von erlaubten Bereichen durch Bandlücken getrennt

- (iii) Isolator: alle Bänder ganz voll bzw. ganz leer  
liegt  $E_F$  in einem Band  $\implies$  Festkörper ist ein Metall

	tiefe Temperaturen	Zimmertemperatur
Legierungen	/-	oft noch von Streuung an Defekten bestimmt

- $E_F = \frac{m_e v_F^2}{2}$
- $p_F = m_e v_F$

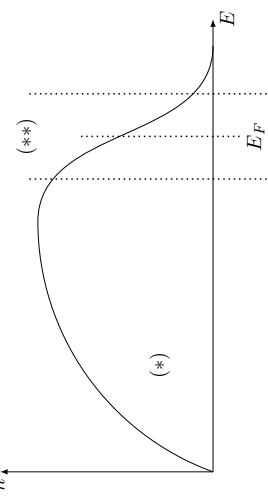
[MSI3, S. 162]:  $E_F = \frac{3}{2} kT_F \approx kT_F \implies T_F \approx \frac{E_F}{k} \approx 1.1 \cdot 10^5 \text{ K}$

- (d) • hohe  $E_{\text{kin}}/\text{"Temperatur"}$   
– quasifrei von Atomrumpfen

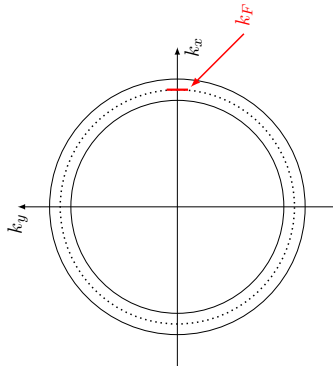
– vernachlässige WW zwischen  $e^-$

- mittlere freie Weglänge  $\gg$  Gitterkonstante;  $e^-$  stoßen (fast) nur an den „Wänden“ der Probe

(e) Nur  $e^-$  mit  $\Delta E = kT$  um  $E_F$  verfügbar für Energieaustausch, da nur hier Zustände teilweise besetzt sind.



(\*) hier sind  $e^-$  quasi fest, da alle Zustände besetzt sind  $\implies e^-$  können NICHT in einem anderen Zustand hüpfen  
(\*\*) in diesem Bereich sind die Zustände teilweise besetzt



Kugelschale um  $k_F$  beinhaltet  $e^-$ , die zum Energieaustausch beitragen

$E_F \sim 1 - 10 \text{ eV}; kT \approx 25 \text{ meV}$  bei Zimmertemperatur

Anteil:  $\frac{\# \text{Zustände Kreisring}}{\# \text{Zustände in } k_F}$

# Kreisring:  $\pi \cdot \left[ \left( k_F + \frac{k_F}{r} \right)^2 - \left( k_F - \frac{k_F}{r} \right)^2 \right] = \dots = \pi \left[ 4k_F \cdot \frac{k_F}{r} \right]$

- (iv) KEINE Kraft in  $x$ -Richtung; Feldminimum bei (10 cm, 0 cm) für  $q < 0 \implies$  rücktreibende Kraft

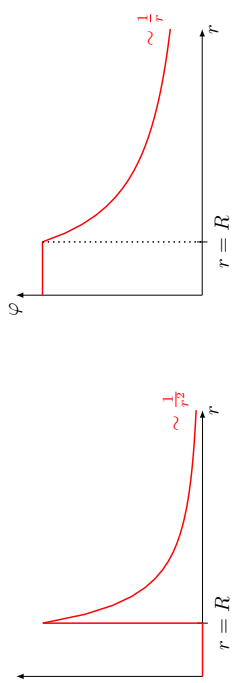
[MSI3, S. 182]:  $E = \frac{U}{s} = \text{const.}$ , da homogenes Feld, das heißt:  $E_{10} = E_{15}$

[MSI3, S. 183]:  $D = \varepsilon_0 E \implies E = \frac{D}{\varepsilon_0} \approx 578.26 \frac{\text{V}}{\text{m}} \approx 578 \frac{\text{V}}{\text{m}}$

### H 2011 K, Aufgabe 4: Kapazität und geladene Kugeln

(a) [MSI3, S. 187]:  $C_a = \varepsilon_a \varepsilon_0 \frac{S}{d_a}$  und  $C_b = \varepsilon_b \varepsilon_0 \frac{S}{d_b}$

[MSI3, S. 188]: Reihenschaltung:  $\frac{1}{C} = \frac{1}{C_a} + \frac{1}{C_b} \implies C = \dots = \frac{\varepsilon_0 S}{\varepsilon_a + \varepsilon_b}$



[MSI3, S. 187]:  $C = \frac{Q}{U}$

[MSI3, S. 183]:  $U = \varphi(r=R) - \varphi(r \rightarrow \infty) = \frac{1}{4\pi\varepsilon_0} \frac{Q}{R} - 0 = \frac{1}{4\pi\varepsilon_0} \frac{Q}{R}$

$\implies C = Q \cdot \frac{4\pi\varepsilon_0 R}{Q} = 4\pi\varepsilon_0 R$

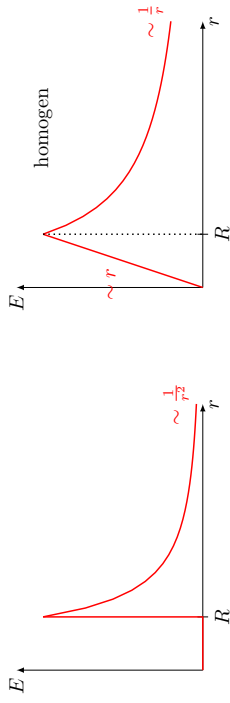
(c) [MSI3, S. 189]:  $W = \frac{1}{2} \cdot \frac{Q^2}{C} = \frac{Q^2}{8\pi\varepsilon_0 R}$

(d)  $\varrho = \frac{Q}{V}$  und  $Q = \frac{4}{3}\pi R^3 \varrho$  (\*)

[MSI3, S. 182]:  $E(r) = \frac{Q(r)}{4\pi\varepsilon_0 r^2}$

$\implies E(r) = \frac{1}{4\pi\varepsilon_0} \cdot \varrho \cdot \frac{r}{R^3}$  für  $r < R$

Für  $r \geq R$  gilt nach (b):  $E = \frac{1}{4\pi\varepsilon_0} \cdot \frac{Q}{r^2}$

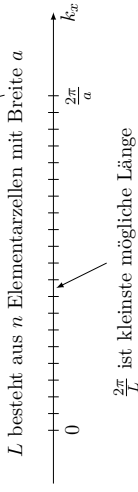
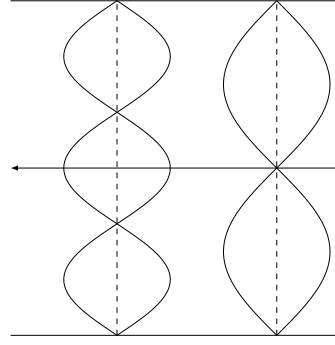
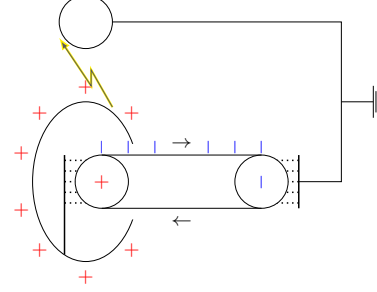


homogen geladene Kugel hat größere Fläche unter dem Graphen und es folgt:

$$W_{\text{hom}} = \int W_{\text{el}} \, dr > W_{\text{leit}}$$

(e) Gummiband, das über zwei Rollen läuft. Untere Rolle treibt an, obere Rolle ist Acryglas, über welches das Gummiband reibt.

Ladungstrennung: Acryl + und Gummi - Negative Ladungen werden nach unten abtransportiert und fließen ab. Positive Ladungen werden mit Metallkannen auf Metallkannen übertragen.



Elektronen haben Spin  $s = \frac{1}{2} \Rightarrow$  Fermionen  $\Rightarrow$  Fermistatistik  $\Rightarrow$  2 Elektronen pro ( $k$ -)Zustand

bei  $T = 0$  werden die energetisch niedrigsten Zustände besetzt; KEINE Anregungen

für die Energie ist nur das Betragsquadrat wichtig:  $E = \frac{\hbar^2 k^2}{2m}$

Auffüllen mit allen zur Verfügung stehenden Elektronen  $\Rightarrow$  maximale Energie  $E_F$

$$\Rightarrow k_F = \sqrt{\frac{2mE_F}{\hbar^2}}$$

$$(b) \text{ Volumen eines Würfels im } k\text{-Raum: } V = \left(\frac{2\pi}{L}\right)^3$$

Sei  $N$  die Anzahl der Elektronen. Da immer zwei Elektronen einen Zustand besetzen, rechnen wir mit  $\frac{N}{2}$ :

$$\frac{N}{2} \left(\frac{2\pi}{L}\right)^3 = \underbrace{\frac{4}{3} \pi k_F^3}_{\text{Kugel}} \Rightarrow k_F \approx 1.55 \cdot 10^{10} \frac{1}{\text{m}}$$

(c) Welle

- $E_F = \frac{\hbar^2 k_F^2}{2m_0} \approx 9.1 \text{ eV}$
- $\nu_F = \hbar k_F \Rightarrow v_F = \frac{p_F}{m_0} = \frac{\hbar k_F}{m_0} \approx 1800 \frac{\text{km}}{\text{s}}$

im Vergleich dazu: Teilchen

$\Rightarrow$  Ion wird nach oben abgelenkt

$$\boxed{\text{MERKE: } n = \frac{\varrho_{\text{Au}}}{m_{\text{Au}}} \approx 5.9 \cdot 10^{22} \frac{1}{\text{cm}^3}}$$

- (b) (i) [MS13, S. 215]: strondurchflossener Leiter im Magnetfeld  $\Rightarrow$  Elektronen werden durch Lorenzkraft abgelenkt  $\Rightarrow$  Hall-Spannung im Leiter senkrecht zur Stromfluss- und Magnetfeldrichtung

$$(ii) [\text{MS13, S. 215}]: U_H = A_H \mu_0 H_d^I = A_H B_d^I$$

$$A_H = -\frac{1}{en} \text{ und mit [MS13, S. 216] folgt: } A_H \approx -7.2 \cdot 10^{-11} \frac{\text{m}^3}{\text{C}}$$

$$\Rightarrow U_H = -\frac{1}{en} B_d^I \Rightarrow E_H = -\frac{1}{en} B \frac{I}{db} \approx 13.1 \cdot 10^{-3} \frac{\text{V}}{\text{m}}$$

$$\underset{=j}{\underbrace{\hspace{1cm}}}_{=A}$$

$$(iii) [\text{MS13, S. 221}]: \sigma = ne\mu \Rightarrow \mu = \frac{\sigma}{ne} \approx 4.65 \cdot 10^{-3} \frac{\text{Vs}}{\text{V}\text{s}}$$

$$(c) (i) [\text{MS13, S. 272}] mit  $c = v$ : \lambda = \frac{v}{f} \approx 0.24 \text{ m}$$

$$\lambda = \frac{h}{p} \Rightarrow p = \frac{h}{\lambda} = \frac{hf}{v} \approx 2.76 \cdot 10^{-33} \text{ Ns}$$

(ii) Energierhaltung für inelastische Neutronenstreuung:  $E_R = E_N - E_{Ph} = E_N - h f_{Ph}$

Bemerkung: in dieser Gleichung gilt „–“, da es sich um ein erzeugtes Phonon handelt. Würde man den Fall mit einem vernichteten Phonon betrachten, so würde in der Gleichung mit „+“ operiert werden.

$$\Rightarrow E_{Ph} = 3.2 \text{ meV}$$

- reine Metalle: Leitfähigkeit bei Zimmertemperatur ist von Phononen bestimmt ( $\rightsquigarrow$  temperaturabhängiger Restwiderstand); bei tiefen Temperaturen von Verunreinigungen/Defekten; bei hohen Temperaturen werden Elektronen an Phononen gestreut

$$\bullet \underline{\text{Legierungen:}} \quad \text{bei Zimmertemperatur oft noch von Streuung an Defekten bestimmt}$$

$$\Rightarrow \sqrt{2mQ\bar{U}} = RQB \Rightarrow m \approx 14 \text{ u}$$

$$\Rightarrow v \approx 52 \frac{\text{km}}{\text{s}}$$

$$[\text{MS13, S. 176}]: J = \frac{E}{\varrho} = \frac{ne^2 \Lambda}{m_e \bar{v}} E$$

$$\text{mit [MS13, S. 170] folgt: } \frac{1}{\varrho} = \gamma$$

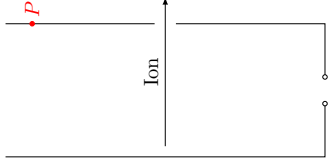
$\Lambda$  ist hierbei die mittlere freie Weglänge und  $\bar{v}$  die mittlere Geschwindigkeit der Elektronen

$$[\text{MS13, S. 166}]: \Lambda = \frac{kT}{4\pi\sqrt{2e^2\rho}} \Rightarrow \frac{1}{\varrho} = \gamma \propto T, \text{ wobei } \varrho \text{ der spezifische elektrische Widerstand und } \gamma \text{ die elektrische Leitfähigkeit darstellen}$$

## H 2012 M, Aufgabe 1: Freies Elektronengas

- (a) freies Elektronengas heißt in quantenmechanischem Sinn Sinuswelle:

$$R^2 - d^2 = a^2 \Rightarrow a = \sqrt{R^2 - d^2} \Rightarrow z = R - a = R - \sqrt{R^2 - d^2} \approx 0.98 \text{ cm}$$



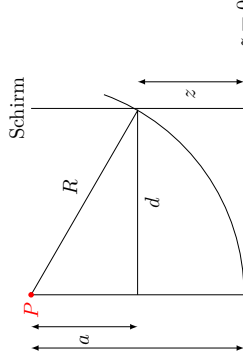
Punkt  $P$  ist angedeuteter Kreismittelpunkt.  
[MS13, S. 228]: Kraft auf das bewegte Ion ist die Lorenzkraft mit Betrag  $F_L = QvB$  für  $\vec{v} \perp \vec{B}$ .

$$F_r = F_L$$

$$m \frac{v^2}{r} = QvB \Rightarrow r = \frac{mv}{QB}$$

$r$  ist Radius der entstehenden Kreisbahn

$$v = \sqrt{2Q\bar{U}} m$$



(c)

$$v \approx 57 \frac{\text{km}}{\text{s}}$$

$$R_C \approx 47 \cdot 10^{-3} \text{ m}$$

$$z_C \approx 1.1 \text{ cm}$$

$$\Delta z = |z_C - z| = 0.12 \text{ cm} < 0.2 \text{ cm}$$

$\Rightarrow$  NICHT unterscheidbar

- (d)
- $v \downarrow \Rightarrow r \downarrow \Rightarrow F_L$  besser
  - $d \uparrow \Rightarrow z$  größer
  - $B \uparrow \Rightarrow r$  kleiner

(e)

$$F_L = F_{\text{el}}$$

$$QvB = QE \Rightarrow E = vB \stackrel{(b)}{=} \sqrt{\frac{2eU}{m_C}} B \approx 8.51 \cdot 10^3 \frac{\text{V}}{\text{m}}$$

- (f) aus (e) folgt:  $E \propto v \propto \sqrt{e} = \sqrt{Q}$   
Bei größerem  $Q$  wird  $r$  kleiner und  $E$  größer

#### H 2012 K, Aufgabe 4: Stromdurchflossener Draht

(a) [MS13, S. 170]:  $R = \varrho \frac{L}{A} = \varrho C_{\text{Cu}} \frac{L}{(\frac{\pi}{4})^2 \pi} \approx 0.48 \Omega$

$$[\text{MS13, S. 169}]: J = \frac{I}{A} \approx 0.28 \cdot 10^6 \frac{\text{A}}{\text{m}^2}$$

- (b)  $B$  ist aus Symmetriegründen außerhalb des Leiters auf dem konzentrischen Kreis konstant, also gilt:

$$\oint \vec{B} d\vec{l} = \int_0^{2\pi} B r d\varphi = 2\pi B r$$

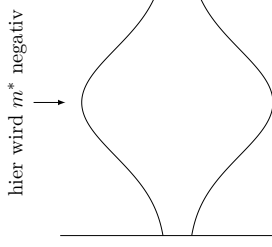
mit Angabe folgt:  $2\pi B r = \mu_0 I \Rightarrow B(0.1 \text{ m}) \approx 4.0 \text{ mT}$

(c) **BILD Skizze**

geschlossene magnetische Feldlinien, da [MS13, S. 201]:  $\oint \vec{B} d\vec{A} = 0$  und es existieren KEINE magnetischen Monopole

- (d) Sei  $R$  der Radius des Leiters.  
[MS13, S. 169]:  $J = \frac{I}{A} \Rightarrow I = JA = J\pi r^2 \Rightarrow \frac{I(r)}{r^2} = \frac{r^2}{R^2} \Rightarrow I(r) = \frac{I r^2}{R^2}$

$$\text{mit (b) folgt: } \frac{2\pi B r}{\mu_0} = \frac{I r^2}{R^2} \Rightarrow B = \frac{I r \mu_0}{2\pi R^2} \text{ für } r \leq R$$



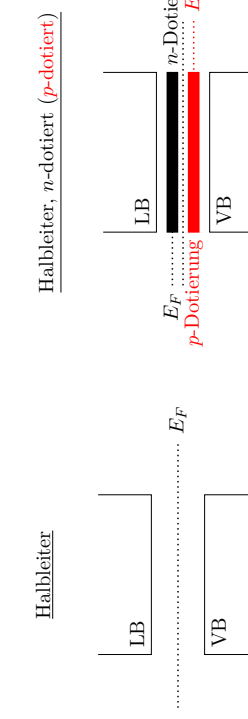
(22) Warum müssen Halbleiter so extrem rein hergestellt werden?

- Dotierung 1: 1000000 gewollt  
unkontrollierte Verunreinigung verändert Eigenschaften des Halbleiters  $\Rightarrow$  Vernreinigung muss kleiner als gewollte Dotierung sein

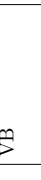
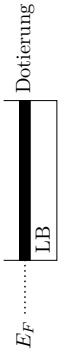
(23) In welchem Band sind Elektronen bzw. Löcher?

In welchem Band sind die zur Leitfähigkeit beitragenden Elektronen?  
Elektronen befinden sich im Leitungsbau, wohingegen Löcher im Valenzband zu finden sind.

(24) Wo liegt bei einem Halbleiter die Fermi-Energie normalerweise? Gibt es davon Ausnahmen?



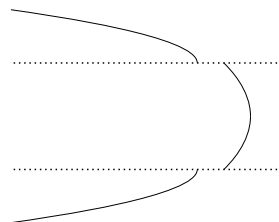
Halbleiter, entartet (n-dotiert)



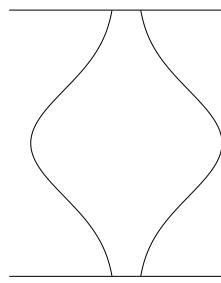
Dotierung NICHT diskret  $\rightarrow$  Störstellen bilden Band

#### F 2012 M, Aufgabe 4: Anregungen in Festkörpern

(a) [MS13, S. 49]:  $\varrho_{\text{Au}} = 19.3 \cdot 10^3 \frac{\text{kg}}{\text{m}^3}$



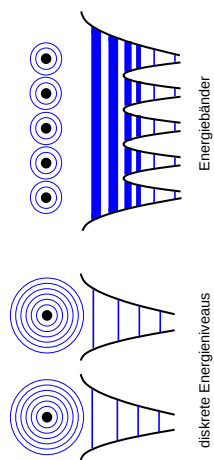
tight-binding-Näherung



## Tight-Binding-Modell

Bringt man Atome näher und näher zusammen so wird die Entartung der atomaren Niveaus aufgehoben. Annäherung von N Atomen  $\Rightarrow$  Aufhebung der N-fachen Entartung

**Isolierte Atome**



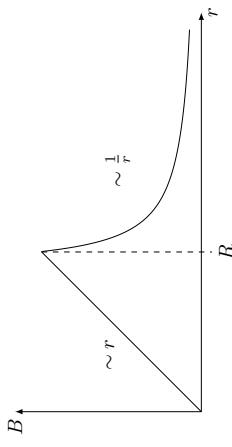
diskrete Energieniveaus

Diese Folie wurde [Ero14] entnommen.

- (21) Was bedeutet der Begriff *effektive Masse*? Was passiert, wenn die effektive Masse unendlich wird?

$m^* \approx m$ , wenn die Dispersionsrelation nahezu eine Parabel darstellt.

$$m^* = \hbar^2 \left( \frac{\partial^2 \varepsilon}{\partial k^2} \right)^{-1} \rightarrow \infty, \text{ wenn } \frac{\partial^2 \varepsilon}{\partial k^2} = 0 \text{ (Wendepunkt)}$$



$$(e) [\text{MSI3, S. 205}]: F = \frac{\mu_0 \mu_r I_1 I_2 l}{2\pi d}$$

mit  $\mu_r = 1$  ([MSI3, S. 169]) und  $I_1 = I_2 = I$  folgt:  $F = \frac{\mu_0 l^2}{2\pi d}$

Linke-Hand-Regel  $\Rightarrow$  Leiter ziehen sich an

[MSI3, S. 169]: Definition des Ampere

## F 2013 K, Aufgabe 3: Kondensatoren

$$(a) [\text{MSI3, S. 187}]: C = \underbrace{\varepsilon_r \varepsilon_0 \frac{ab}{d}}_{=1} \approx 44 \text{ pF}$$

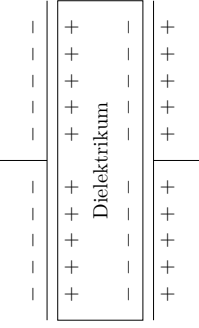
$$[\text{MSI3, S. 187}]: C = \frac{Q}{U} \Rightarrow U = \frac{Q}{C}$$

$$[\text{MSI3, S. 182}]: E = \frac{U}{d} \Rightarrow E = \frac{Q}{C d} \approx 2.3 \text{ kV/m}$$

$$(b) [\text{MSI3, S. 189}]: W = \frac{1}{2} Q U \approx 0.11 \text{ nJ}$$

$$(c) \text{ nach (a) gilt: } C = \varepsilon_r \varepsilon_0 \frac{ab}{d} \approx 93 \text{ pF}$$

- (d) nach (a) gilt:  $E = \frac{Q}{C d} \approx 1.1 \text{ kV/m}$
- physikalische Ursache für den Unterschied zur ursprünglichen Feldstärke:



Atome im Dielektrikum werden polarisiert, das heißt, innerhalb des Dielektrikums hebt sich das elektrische Feld auf. An der Oberfläche entstehen Polarisationsladungen, die ein entgegengesetztes Feld bewirken. Dieses Feld ist beträchtlich kleiner als das ohne Dielektrikum.

$$(e) C_1(x) = \underbrace{\varepsilon_r \varepsilon_0 \frac{x b}{d}}_{=1} = \varepsilon_0 \frac{x b}{d}$$

$$C_D(x) = \varepsilon_r \varepsilon_0 \frac{(a-d)b}{d}$$

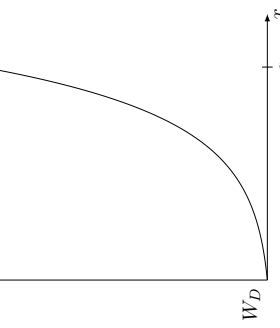
$$[\text{MSI3, S. 189}]: \text{Parallelschaltung: } C(x) = C_1(x) + C_D(x) = \varepsilon_0 \frac{b}{d} [\varepsilon_r a + (1 - \varepsilon_r)x]$$

mit (b) gilt:  $U = \frac{q}{a}$  und  $W = \frac{1}{2}QU$ , also

$$W(x) = \frac{Q^2}{2C(x)} = \frac{Q^2}{2\varepsilon_0 b} \cdot \frac{d}{x(1-\varepsilon_r)+\varepsilon_r a}$$

(f) [MSI3, S. 183]:  $W = -\int \vec{F} d\vec{s} \Rightarrow \vec{F} = -\nabla W$

$$W(x) \propto \frac{1}{a-bx} \Rightarrow \text{Steigung} \Rightarrow \text{Kraft}$$



$$F(x) = -W'(x) = \frac{Q^2}{2\varepsilon_0 b} \cdot \frac{d(\varepsilon_r-1)}{(x(1-\varepsilon_r)+\varepsilon_r a)^2}$$

$$F(5 \text{ cm}) \approx 0.52 \text{ nN}$$

(g) [MSI3, S. 170]:  $R = \varrho_A^l$ , wobei hier  $l = d$ , also  $R = \varrho_A^d$

$$[\text{MSI3, S. 191}]: U_C = U \cdot \exp\left(-\frac{k}{RC}\right) = U \cdot \exp\left(-\frac{t_A}{\varrho A}\right)$$

$$U_C = \frac{1}{2}U \Rightarrow \frac{1}{2} = \exp\left(-\frac{t_A}{\varrho A}\right) \Rightarrow t_A \approx 128.9 \text{ s}$$

$$[\text{MSI3, S. 189}]: W = \frac{1}{2}CU^2 \Rightarrow W_{t_1} = \frac{1}{8}CU_0^2$$

$$W = \frac{1}{2}CU_0^2 \Rightarrow \frac{W_{t_1}}{W} = \frac{1}{4}$$

(h) mit [MSI3, S. 170] und [MSI3, S. 187] wie in (a) gilt:  $RC = \varrho \frac{d}{a} \varepsilon_r \varepsilon_0 \frac{ab}{a} = \varrho \varepsilon_r \varepsilon_0 \approx 0.19 \cdot 10^3 \frac{1}{\text{s}}$

[MSI3, S. 191]:  $\tau = RC$  heißt Zeitkonstante

#### H 2013 K, Aufgabe 4: Stab im Magnettfeld

$$(a) [\text{MSI3, S. 170}]: R = \frac{U}{I} \Rightarrow I = \frac{U}{R}$$

$$[\text{MSI3, S. 205}]: \vec{F}_L = I \vec{l} \times \vec{B} \quad \text{und f\"ur } \vec{l} \perp \vec{B} \text{ gilt: } F_L = IIB$$

$$\begin{aligned} \text{Rechte-Hand-Regel: } x\text{-Richtung: } \vec{l} &= \begin{pmatrix} 0 \\ -l \\ 0 \end{pmatrix} \Rightarrow \vec{F} = \begin{pmatrix} IIB \\ 0 \\ 0 \end{pmatrix} \\ (b) [\text{MSI3, S. 182}]: F &= QE \\ [\text{MSI3, S. 228}]: F_L &= QvB \\ \Rightarrow E &= -vB \Rightarrow El = -vBl = U_G \end{aligned}$$

(b) [MSI3, S. 182]:  $F = QE$   
[MSI3, S. 228]:  $F_L = QvB$   
 $\Rightarrow E = -vB \Rightarrow El = -vBl = U_G$

Diese Folie wurde [Pro14] entnommen.

(20) Wodurch kommen die Bandlücken zu stande, wenn Sie zum einen die fast-freie-Elektronen-N\"aherung, zum anderen die tight-binding-N\"aherung betrachten?  
fast-freie-Elektronen-N\"aherung

(14) Womit begründen Sie die thermische Ausdehnung von Festkörpern? Gelingt dies mit Bindungskräften in der harmonischen Näherung?

NICHT mit harmonischer Näherung; zusätzliche (anharmonische) Terme nötig; siehe (1)

(15) Warum kann man bei der Raman-Spektroskopie im Allgemeinen nur Phononen mit Wellenzahl  $q \approx 0$  untersuchen?

Licht zur Anregung optischer Phononen zu deren Untersuchung; Energie- und Impulserhaltung IMMER gegeben:

$$\begin{aligned}\hbar\omega_{\text{Photon}} &= \hbar\omega'_{\text{Photon}} + \hbar\omega_{\text{Phonon}} \\ \vec{\hbar k}_{\text{Photon}} &= \vec{\hbar k}'_{\text{Photon}} + \vec{\hbar k}_{\text{Phonon}}\end{aligned}$$

$\vec{k}_{\text{Photon}}$  und  $\vec{k}'_{\text{Photon}}$  sehr viel größer als  $\vec{k}_{\text{Phonon}}$

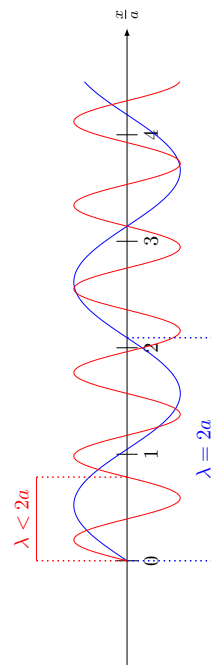
man kann 2 Phononen erzeugen, die entgegengesetzte Richtungen haben  $\Rightarrow$  Impuls der beiden zusammen fast 0, aber einzelne Impulse größer 0

optische Phononen  $\Rightarrow$  Energierhaltung bleibt auch gewährleistet

(16) Die erste Brillouin-Zone der einatomigen linearen Kette endet bei  $q = \frac{\pi}{a}$ . Was ist dort die zugehörige Wellenlänge? Wie sieht die Schwingung aus? Was ergibt sich für  $q = \frac{2\pi}{a}$ ?

Fertigen Sie auch eine Skizze an.

$$\frac{\pi}{a} = q_{\max} = \frac{2\pi}{\lambda_{\min}} \Rightarrow \lambda_{\min} = 2a$$



(17) Welchen Zweck erfüllen die periodischen Randbedingungen bei der Beschreibung von Phononen und Elektronen in Festkörpern?

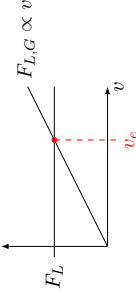
Physik am Rand ist kompliziert  $\rightsquigarrow$  Effekte innerhalb sind interessant

$\rightarrow$  unendliche Körper, aber Integrale nicht (gut) lösbar  $\Rightarrow$  betrachte Körper periodisch  
 $\Rightarrow$  Rand wird egal und Körper kann als unendlich ausgedehnt angenommen werden  
 $\rightsquigarrow$  Randeffekte können somit vernachlässigt werden

Beispiel: eindimensionale lineare Kette wird zu einem Kreis geschlossen  $\Rightarrow$  endliche Länge, KEIN Rand  $\rightsquigarrow$  einfachste Anwendung

(18) Warum ist die Wärmekapazität der Elektronen in Metallen viel geringer als die der Phononen?

(c) Stab erreicht endliche Endgeschwindigkeit  $v_e$ , das heißt,  $F_L = \text{const} \Rightarrow F_{L,G} \propto v$



$\Rightarrow F = F_L - F_{L,G} = 0 \Rightarrow v = \text{const}$

$$\vec{F} = 0 \Rightarrow I = -I_G \Rightarrow U = -U_G \stackrel{(b)}{=} Blv_e \Rightarrow v_e = \frac{U}{Bl}$$

$$(d) I_e = I + I_G \stackrel{(c)}{=} I - I = 0$$

$$(e) I_e = I + I_G = 0 - I \Rightarrow I \text{ in positive } y\text{-Richtung}$$

mit (a) folgt:  $\vec{F}$  in ( $-x$ )-Richtung  $\Rightarrow$  Stab wird gebremst (wegen  $F \propto I \propto v$ )

Stab kommt zur Ruhe, da  $F = 0$  nur dann, wenn  $v = 0$

$$W_R = E_{\text{kin}} = \frac{1}{2}mv_e^2$$

### F 2014 K, Aufgabe 3: Messung von Hochspannungen

(a)

(b)

(c) Drehspulmesswerk: Bauteile

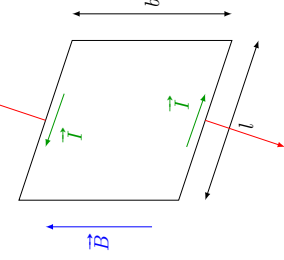
- Dauermagnet mit teilweise homogenem Magnetfeld
- Spule (vereinfacht: Leiter schleife) im homogenen Magnetfeld, aufgehängt an Torsionsfeder
- als Voltmeter ist noch ein Innenwiderstand nötig

Auslenkung:  $y \propto I$ : [MS13, S. 69]:  $F_{\text{Tor}} = -k\varphi$

[MS13, S. 205]:  $F_L = IIB$  (Leiterschleife  $\perp \vec{B}$ ) an beiden Enden

$$\Rightarrow F_{\text{Tor}} = 2FL \Rightarrow -k\varphi = 2IB \Rightarrow \varphi \propto I$$

$$\vec{F}_L$$



### III Optik

#### F 2010 K, Aufgabe 4: Vergütetes Glas

(a) [MS13, S. 299]:  $\frac{c_1}{c_2} = \frac{n_2}{n_1}$   
 hier:  $\frac{c_0}{c_1} = \frac{n_L}{n_F} \implies c_F = c_0 \cdot n_F$   
 $c \propto s \implies \Delta s = s_0 - s_F = s_0 - 2s_0 n_F = s_0(1 - 2n_F)$

(b) [MS13, S. 273]:

- Verstärkung:  $\Delta s = k\lambda$  ( $k = 0,1,2\dots$ ) [Wellenberg auf Wellenberg]
- Auslöschung:  $\Delta s = \left(k + \frac{1}{2}\right)\lambda$  ( $k = 0,1,2\dots$ ) [Wellenberg auf Wellental]

Für eine vollständige Auslöschung müssen die interferierenden Wellen gleiche Intensität.

*Bemerkung:* Im Allgemeinen gilt, dass Licht bei Reflexion an einem optischen dichteren Medium einen Phasensprung um  $\pi$  erfährt.

(c) Aus (a) und (b) gilt:  $\Delta s = s_0(1 - 2n_F)$  und  $\Delta s = \left(k + \frac{1}{2}\right)\lambda$ .  
 $\implies s_0(1 - 2n_F) = \left(k + \frac{1}{2}\right)\lambda$   
 Sei  $k = 0$ . Dann wird  $s_0$  minimal und es gilt:  $s_0(1 - 2n_F) = \frac{\lambda}{2}$   
 $\implies s_0 = \frac{\lambda}{2(1 - 2n_F)} \approx -175 \text{ nm}$

(d) Die Antireflexbeschichtung wird auf einen sehr schmalbandigen Wellenlängenbereich ausgelegt. Bestimmt Farben werden bei Reflexion NICHT ausgelöscht  $\implies$  Newtonsche Ringe (siehe [MS13, S. 306])

(e) Für vollständige Auslöschung müssen die beiden reflexierten Strahlen gleichen Reflexionsgrad besitzen:

$$\begin{aligned} R_{\text{Luft-Film}} &= R_{\text{Film-Glas}} \\ \left(\frac{n_F - n_0}{n_F + n_0}\right)^2 &= \left(\frac{n_G - n_F}{n_G + n_F}\right)^2 \\ &\dots \\ n_F &= \sqrt{n_0 n_G} \quad \checkmark \end{aligned}$$

#### H 2010 K, Aufgabe 4: Totalreflexion

(a) Lichtquelle muss im Wasser sein, damit Totalreflexion möglich ist.

- Röntgenphotonen haben relativ hohe Energie  $\rightarrow$  empfindliche Proben können zerstört werden

Neutronen  $\rightarrow$  Kern

- auch bei weniger Elektronen
- Unterschiede zwischen Isotopen eines Elements  $\rightsquigarrow$  Kontrasterhöhung möglich
- Forschungsreaktor/Spatiationsquelle
- schwache Wechselwirkung mit Kern
- höhere Eindringtiefe als Röntgenphotonen

- (9) Wann steht eine Kristallrichtung  $[hkl]$  auf der zugehörigen  $(hkl)$ -Ebene senkrecht? Was gilt für die Beziehung der  $(hkl)$ -Ebene und den reziproken Gittervektor  $\vec{G}_{hkl}$ ? Was gilt für den Ebenenabstand dieser Ebenen?
- im Allgemeinen gilt dies nur, wenn die Einheitsvektoren ein Orthogonalsystem bilden; reziproker Gittervektor  $\vec{G}_{hkl}$  immer senkrecht zur  $(hkl)$ -Ebene;

$$d = \frac{a}{\sqrt{h^2 + k^2 + l^2}}$$

- (10) Was sind akustische, was sind optische Phononen?

zweiatomige Basis

- akustische Phononen: Schallwellen; Atome einer Basis schwingen gleichphasig  
 optische Phononen: Atome einer Basis schwingen gegenphasig  
einatomige Basis: akustische Phononen

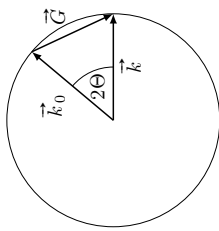
- (11) Welche Größenordnung haben Phononenfrequenzen in typischen Materialien? Wo finden Sie z. B. Ultraschallwellen wieder?
- kHz bis GHz bei akustischen Phononen  
 Ultraschall > 20 kHz  
 THz bei optischen Phononen (Infrarot)

- (12) Eignen sich Röntgen- bzw. Neutronenstrahlen zur Messung von Phononendiffusions?
- thermische Neutronen  $\rightarrow$  JA

- thermische Energie Phonon  $\sim \text{eV}$   $\left.\right\} \implies$  6 Größenordnungen unterschied  
 Röntgenstrahlung  $\sim \text{keV}$   
 $\sim$  hohe Intensivität am Detektor nötig
- (13) Warum nimmt die Wärmekapazität von Phononen bei tiefen Temperaturen ab?
- Phononen sind quantisiert
- entweder ein Phonon anregen oder keins;  $E_{\hbar\omega}$
  - bei kleinen Temperaturen ist die Wahrscheinlichkeit sehr gering, dass Phononen angeregt werden

- (i) die meisten Metalle, Salze, Diamant schnelles Abkühlen geschmolzener Metalle  $\Rightarrow$  NICHT-kristalline Struktur
- (ii) Einkristall: makroskopisch, translationsinvariant (Beispiel: Silicium für Wafer)
- (iii) Polykristall: Kombination aus Einkristallen (Beispiel: Silicium für Solarzellen)
- (iv) Holz, Glas, amorphe Stoffe/Festkörper (Aussage über Nahordnung, NICHT aber über Fernordnung möglich), Polymere

(5) Betrachten Sie die Ewald-Konstruktion:



Was bedeuten die Vektoren  $\vec{k}_0$ ,  $\vec{k}$ , und  $\vec{G}$ ? In welche Richtung kommt die Strahlung aus der Quelle, in welche geht sie zum Detektor?

$$(i) \vec{G} = \vec{k} - \vec{k}_0$$

enthält die Kugel einen reziproken Gittervektor  $\vec{G}$ , so findet man einen neuen Wellenvektor  $\vec{k}_0$ ; liegt also ein reziproker Gitterpunkt auf der Ewald-Kugel, so beobachtet man einen Beugungsreflex

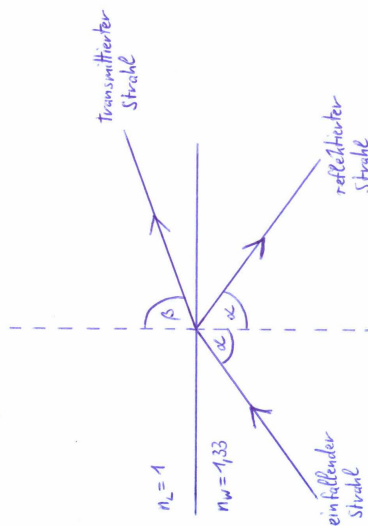
(ii)  $\vec{k}_0$  gibt die Richtung der einfallenden Strahlung an;  $\vec{k}$  gibt die Richtung der Strahlung zum Detektor an;

(6) Warum kann man sichtbares Licht NICHT zur Strukturaufklärung von Kristallen verwenden? Wellenlänge des sichtbaren Lichtes ist zu groß;  $\lambda$  muss im Bereich der Gitterkonstante  $a$  sein

(7) In welchem Energierbereich müssen Neutronen liegen, damit sich ihre de-Broglie-Wellenlänge zur Untersuchung von Festkörpern eignet? Wie stellt man diese Neutronen her?  
 $\approx 80\text{meV}$ , thermische Neutronen, NICHT einfach zu erzeugen, Herstellung durch Kernspaltung  $\rightsquigarrow$  Neutronen werden im Moderator (oft Wasser) gebremst; zusätzlich: Monochromator („Geschwindigkeitsfilter“) nötig  $\rightsquigarrow$  Forschungsreaktor  
 ODER: Teilchenbeschleuniger  $\rightarrow$  Target und hofft auf Auftreten von Neutronen = Spalationsquelle

(8) Vergleichen Sie Röntgen- und Neutronenstreuung: Welche Materialien lassen sich gut/schlecht untersuchen, welche Strukturen können Kontrast bieten, Erzeugung der Strahlen?  
 Röntgenstrahlen: Wechselwirkung mit Elektronen
 

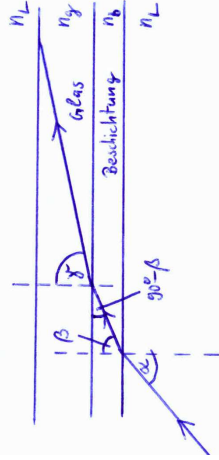
- umso stärker, je mehr Elektronen, also je höher die Kernladungszahl
- alle Isotope eines Elements gleich, da NUR von Elektronen abhängig
- Röntgenröhre (relativ klein und einfache zu bauen)



$$n_W \sin(\alpha) = n_L \sin(\beta)$$

$$\begin{aligned} \text{Totalreflexion heißt } \sin(\beta) &= 1 \\ \implies \alpha &= \arcsin\left(\frac{\sin(\beta)}{n_W}\right) = \arcsin\left(\frac{1}{n_W}\right) \approx 48.8^\circ \end{aligned}$$

(b) Glas mit und ohne Beschichtung



OHNE Beschichtung:  $\text{Luft} \rightarrow \text{Glas}$

$$n_L \sin(\alpha) = n_g \sin(\gamma) \stackrel{n_L \neq 1}{=} \sin(\alpha) = n_g \sin(\gamma)$$

mit Beschichtung:  $\text{Luft} \rightarrow \text{Beschichtung}$

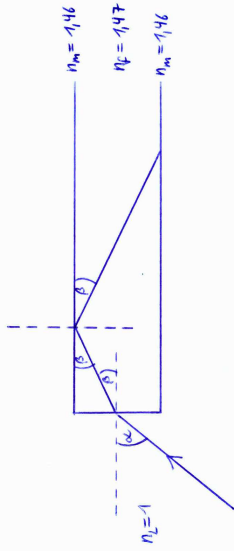
$$n_L \sin(\alpha) = n_b \sin(\beta) \stackrel{n_L \neq 1}{=} \sin(\alpha) = n_b \sin(\beta)$$

Beschichtung  $\rightarrow$  Glas

$$n_b \sin(\beta) = \sin(\alpha) = n_g \sin(\gamma)$$

$\rightsquigarrow$  wie OHNE Beschichtung ✓

(c) Glasfaser



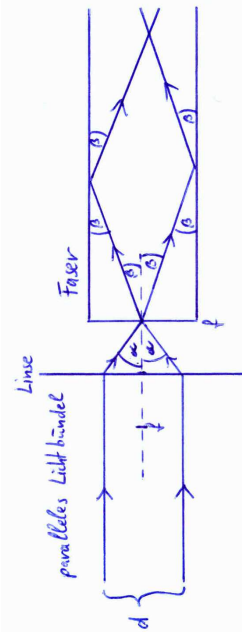
$$n_f \sin(90^\circ - \beta) = n_m \sin(\gamma)$$

Totalreflexion heißt  $\sin(\gamma) = 1$ .

$$n_f \sin(90^\circ - \beta) = n_m \implies \beta = (-1) \cdot \left[ \arcsin\left(\frac{n_m}{n_f} - 90^\circ\right) \right] \approx 6.687^\circ$$

$$n_L \sin(\alpha) = n_f \sin(\beta) \implies \alpha = \arcsin\left(\frac{n_f \sin(\beta)}{n_l}\right) \approx 9.86^\circ$$

(d) paralleles Lichtbündel



Nach (c) ist  $\alpha = 9.86^\circ$ .

$$\tan(\alpha) = \frac{d}{f} = \frac{d}{2f} \implies d = 2f \tan(\alpha) \approx 3.47 \text{ mm}$$

### F 2011 K, Aufgabe 4: Astronomisches Teleskop

- (a) [MSI3, S. 314]:  $V = \frac{f_{obj}}{f_{ok}} \implies f_{ok} = \frac{f_{obj}}{V}$   
 $f_{ok,1} = 2 \text{ cm} ; f_{ok,2} = \frac{8}{15} \text{ cm} \approx 0.53 \text{ cm}$

(b) Skizze

- (3) Was bedeutet Basis im Zusammenhang mit Kristallstrukturen?  
 Kristall = Gitter + Basis  
 1-atomige Basis: 1 Atom je Gitterpunkt  
 2-atomige Basis: 2 Atome je Gitterpunkt
- (4) Welche Festkörper liegen in kristalliner Form vor? Was ist der Unterschied zwischen polykristallin und einkristallin? Welche Festkörper liegen NICHT als Kristalle vor?

## VI Aufbau der Materie IIa – Festkörperphysik

### Verständnisfragen

(1) Thermische Ausdehnung von Festkörpern

(a) Erläutern Sie drei Kristallbindungsarten. Geben Sie jeweils einen typischen Vertreter an.

- kovalente Bindung

- typischer Vertreter:  $\text{H}_2^+$ , Diamant

- Valenzelektronen sind über beide Atome verteilt  $\rightsquigarrow$  zwischen den Atomen

- stark gerichtete Bindung

- Energie des „gepaarten“ Atoms geringer

- Ionenbindung

- typischer Vertreter:  $\text{Na} + \text{Cl} \rightarrow \text{Na}^+ + \text{Cl}^-$

- Elektronenaustausch führt zu einer erhöhten Elektronendichte bei einem Atom ( $\text{Cl}^-$ ) und zu einer reduzierten Elektronendichte beim anderen Atom

- Coulombanziehung der Bindungspartner

- schwach gebundenes Valenzelektron wechselt in fast volle Valenzschale des Halogenatoms

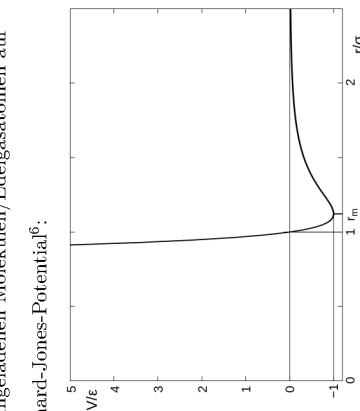
- Van-der-Waals-Bindung

- typischer Vertreter:  $\text{CH}_4$

- Dipol-Dipol-Bindung (schwache Bindung!)

- tritt zwischen ungeladenen Molekülen/Edelgasatomen auf

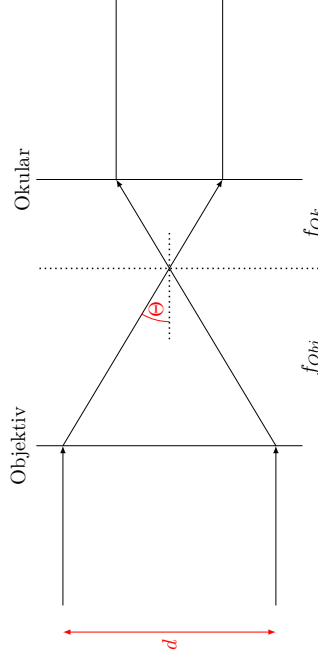
- es gilt das Lennard-Jones-Potential<sup>6</sup>:



- (b) Beschreiben Sie, was auf atomarer Ebene bei einer Temperaturerhöhung des Kristalls passiert.

Anstieg kinetischer Energie der einzelnen Atome  $\Rightarrow$  Auslenkungen um Ruhelage nehmen zu (Gitterschwingungen  $\rightarrow$  Phononen werden erzeugt)

<sup>6</sup><http://commons.wikimedia.org/wiki/File:12-6-Lennard-Jones-Potential.svg> (Zugriff am 13.02.2015)



$$(c) \tan(\Theta) = \frac{\frac{d}{2}}{f_{Obj}}$$

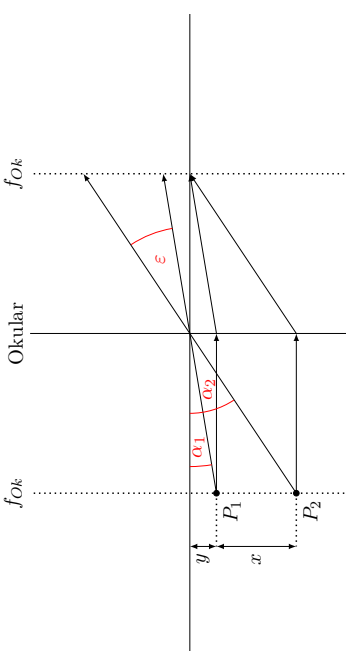
Für kleine Winkel  $\Theta$  gilt:  $\sin(\Theta) \approx \tan(\Theta)$ .

$$[\text{MSI3, S. 307}]: \sin(\Theta) = 0.610 \cdot \frac{\lambda}{r}$$

Mit  $r = \frac{D}{2}$  folgt

$$\frac{d}{\frac{D}{2}} = 0.610 \cdot \frac{\lambda}{\frac{D}{2}} \Rightarrow d = 2.44 \cdot \frac{\lambda}{D} \cdot f_{Obj} \approx 12 \mu\text{m}$$

$$(d) [\text{MSI3, S. 19}]: \varepsilon = 2' \stackrel{\Delta}{=} 2 \cdot 2.90888 \cdot 10^{-4} \text{ rad}$$



Für kleine Winkel  $\alpha$  gilt:  $\sin(\alpha) \approx \tan(\alpha) \approx \alpha$ .

$$(1) \sin(\alpha_1) \approx \tan(\alpha_1) = \frac{y}{f_{Ok}} \Rightarrow y = f_{Ok} \cdot \tan(\alpha_1)$$

$$(2) \sin(\alpha_2) \approx \tan(\alpha_2) = \frac{x+y}{f_{Ok}} \stackrel{(1)}{\Rightarrow} x = \frac{f_{Ok}}{y} \cdot (\tan(\alpha_2) - \tan(\alpha_1))$$

$$(3) \alpha_2 - \alpha_1 = \varepsilon$$

$$\Rightarrow x = f_{Ok} \cdot (\alpha_2 - \alpha_1) = f_{Ok} \cdot \varepsilon$$

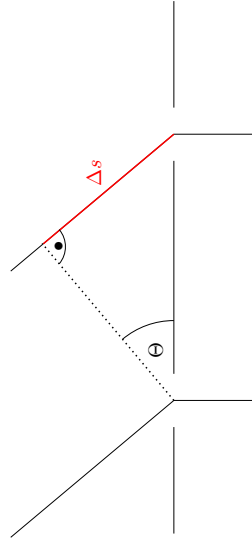
$$(e) d = x \Rightarrow 2.44 \cdot \frac{\lambda}{D} \cdot f_{Obj} = f_{Ok} \cdot \varepsilon$$

$$[\text{MSI3, S. 314}]: V = \frac{f_{Obj}}{f_{Ok}} = \frac{\varepsilon D}{2.44 \lambda} \approx 39.02 \approx 39$$

- (f) 40 ist in Ordnung, wegen minimalem Auflösungsvermögen  
150 ist zu groß; hier muss der Objektivdurchmesser  $D$  erhöht werden (ca. 4D nötig)

### H 2011 K, Aufgabe 3: Doppelpspalt mit Glasplatte

- (a) OHNE Glas: Helligkeitsmuster (Interferenzmuster) abhängig von winkelabhängigen Gangunterschied  $\Delta s$  nach dem Spalt



mit Glas: Zu dem winkelabhängigen geometrischen Gangunterschied muss noch ein konstanter optischer Gangunterschied der Glasplatte addiert werden  $\Rightarrow$  Verschiebung des Musters

- (b) geometrischer Gangunterschied: [MSI3, S. 273]:  $d \sin(\Theta) = \frac{k\lambda}{d}$

$$\underline{\text{optischer Gangunterschied:}} \quad [\text{MSI3, S. 299}]: \frac{c_0}{c} = n_0 \Rightarrow c_0 = n_0 \cdot c$$

$$\underline{\Rightarrow \Delta c = c_0 - c = n_0 c - c = (n_0 - 1)c}$$

Da  $c \propto l$  gilt, folgt:  $\Delta l = (n_0 - 1)l =: \Delta s_0$

Ablenkung nach links:

$$\begin{aligned} \Delta s_g + \Delta s_0 &= k\lambda \\ d \sin(\Theta) + (n-1)l &= k\lambda \end{aligned}$$

$$\Rightarrow \Theta = \arcsin\left(\frac{k\lambda - (n-1)l}{d}\right)$$

Ablenkung nach rechts:  $|\Delta s_0 - \Delta s_g| = k\lambda$

$$\bullet \underline{\Delta s_0 > \Delta s_g \Rightarrow \Theta = \arcsin\left(\frac{(n-1)l - k\lambda}{d}\right)}$$

$$\bullet \underline{\Delta s_0 < \Delta s_g \Rightarrow \Theta = \arcsin\left(\frac{k\lambda - (n-1)l}{d}\right)}$$

- (c) Maximum 0. Ordnung:

$$\begin{aligned} \Delta s_0 &= \Delta s_g \\ \Delta s_0 - \Delta s_g &= 0 \cdot \lambda \\ d \sin(\Theta) &= (n-1)l \\ \Rightarrow \Theta &= \arcsin\left(\frac{(n-1)l}{d}\right) \end{aligned}$$

- (b) [MSI3, S. 334]:  $\Delta E \cdot \Delta \tau \geq \hbar \Rightarrow \Delta \tau \approx 1.99 \text{ ns}$

- (c) [MSI3, S. 162ff]:  $k = \frac{R}{N_A}; m = \frac{M}{N_A}; \hat{v} = \sqrt{2 \frac{R}{M} T} = \sqrt{2 \frac{k}{m} T}$

$$\Rightarrow v_{\text{wahrscheinlich}} = \sqrt{\frac{2kT}{m}}$$

[MSI3, S. 285]: Dopplereffekt:  $f' = f(1 \pm \frac{v}{c}) \Rightarrow \underbrace{f' - f}_{=\Delta f} = \pm \frac{v}{c} \cdot f \Rightarrow \frac{\Delta f}{f} = \pm \frac{v}{c} \quad (*)$

$$[\text{MSI3, S. 337ff}]: f_{21} = \frac{E_2 - E_1}{h} = 9.87 \cdot 10^{15} \text{ Hz}$$

$$\Rightarrow \Delta f_{21} = \underbrace{2}_{\text{wegen } \pm \text{ in } (*)} \cdot \frac{f_{21}}{c} \cdot \sqrt{\frac{2kT}{m}}$$

- (d) Die Elektronegativität von Wasserstoff ist wesentlich höher als die von Helium, da bei Helium die äußere Schale voll besetzt ist. Elektronegativität ist ein Maß für die Fähigkeit, Elektronen in einem Molekül an sich zu ziehen.

Edelgaskonfiguration; halbbesetzte Orbitale, einzelne Elektronen füllen ein (kovalesentes) Molekülorbital

- (b) Doppler-Effekt  
(c) **MERKE:** reduzierte Masse:  $\mu = \frac{m_e M_k}{m_e + M_k} \Rightarrow \frac{\mu}{m_e} = \left(1 + \frac{M_k}{m_e}\right)^{-1}$  ✓

$$[\text{MS13, S. 337}]: R_\infty = \frac{m_e e^4}{8\pi_0^2 h^3 c} \cdot Z^2$$

$$[\text{MS13, S. 338}]: \nu = \frac{1}{\lambda} = R \left( \frac{1}{n^2} - \frac{1}{m^2} \right) \quad (*)$$

$$[\text{MS13, S. 337}]: R = R_\infty \left(1 + \frac{m_e}{M_k}\right)^{-1}$$

mit (\*) folgt:  $\Delta\nu = \Delta \left( \frac{1}{\lambda} \right) = \Delta R \left( \frac{1}{n^2} - \frac{1}{m^2} \right)$  mit  $\Delta R = R(T) - R(H)$

$$\Rightarrow \frac{\Delta\nu}{\nu} \approx 0.366 \cdot 10^{-3}$$

$$[\text{MS13, S. 344}]: l_i = 0,1 \quad \text{und} \quad m_i = 0, \pm 1 \quad \text{und} \quad s_i = \pm \frac{1}{2}$$

$$[\text{MS13, S. 346}]: z = 2n^2 = 2 \cdot 4 = 8 \Rightarrow 8 \text{ Zustände}$$

(e) **MERKE:** Dipolauswahlregeln:  $\Delta l = \pm 1$  und  $\Delta m_l = 0, \pm 1$

$\Rightarrow$  erlaubte Übergänge:

- $2p \rightarrow 1s$
- $2s \rightarrow 4p$
- $2p \rightarrow 4s$
- $2p \rightarrow 4d$

- (f) **MERKE:** Gründe für endliche Linienbreite:  
  - endliche Lebensdauer der angeregten Zustände
  - Stoßverbreiterung
  - Dopplerverbreiterung
  - natürliche Linienbreite

(g) Energieentartung  $\rightarrow$  Feinstrukturaufspaltung bzgl.  $m_l$

$$E_1(\text{He}) \approx -34 \text{ eV}$$

$$E_2(\text{He}) \approx -14 \text{ eV}$$

$$E_3(\text{He}) \approx -6.0 \text{ eV}$$

Entartung ohne/mit Spin:  $n^2/2n^2$

$$E_1(\text{He}) \Rightarrow l = 0 \rightarrow 2\text{-Entartung}$$

$$E_2(\text{He}) \Rightarrow l = 0 \rightarrow 8\text{-Entartung}$$

$$E_3(\text{He}) \Rightarrow l = 0 \rightarrow 18\text{-Entartung}$$

Energieentartung heißt, dass zu ein und denselben Energiewert verschiedene Bahnmöglichkeiten gehören mit Quantenzahlen  $n$  und  $L$ .

$$(\text{a}) [\text{MS13, S. 336}]: E_n = -\frac{1}{8} \cdot \frac{m_e Z^2 e^4}{\varepsilon_0^2 n^2 h^2}$$

$$E_1(\text{He}) \approx -34 \text{ eV}$$

$$E_2(\text{He}) \approx -14 \text{ eV}$$

$$E_3(\text{He}) \approx -6.0 \text{ eV}$$

$$E_1(\text{He}) \Rightarrow l = 0 \rightarrow 2\text{-Entartung}$$

$$E_2(\text{He}) \Rightarrow l = 0 \rightarrow 8\text{-Entartung}$$

$$E_3(\text{He}) \Rightarrow l = 0 \rightarrow 18\text{-Entartung}$$

Energieentartung heißt, dass zu ein und denselben Energiewert verschiedene Bahnmöglichkeiten gehören mit Quantenzahlen  $n$  und  $L$ .

Maximum bei  $\Theta = 0^\circ$ :  $\Delta s_g = 0$ ,  $\Delta s_g = k\lambda = (n-1)l \Rightarrow l = \frac{k\lambda}{n-1}$

- (d) **Kohärenzbestimmung:** große  $\Delta s$  nötig; Teste, bis zu welcher Beugungsordnung  $k$  noch ein definiertes Minimum erkennbar ist

Problem beim Doppelspalt: Intensität von Maximum hoher Ordnung ist stark reduziert  
 $\rightarrow$  Einfließende von Einfachspalt)

[MS13, S. 337]:  $R = R_\infty \left(1 + \frac{m_e}{M_k}\right)^{-1}$

mit Glas: Doppelspaltinterferenz wird gegen Einfachspaltinterferenz verschoben

Bestimmung: Glaspłättchen mit wachsender Dicke  $l$ , bis Maximum bei  $\Theta = 0^\circ$  verschwindet

$$\rightarrow L_{\text{Kohärenz}} = (n-1)l_{\text{max}}$$

### Kohärenz

„Kohärenz“ (v. lat.: cohaerere = zusammenhängen) bezeichnet in der Physik die Eigenschaft von Wellen, deren Auslenkung sich zeitlich auf dieselbe Weise ändert. Wellen sind selbst dann noch kohärent, wenn diese zeitliche Änderung um einen konstanten Betrag verschoben ist (Phasenverschiebung). Als Folge der Kohärenz, können bei der Überlagerung von Wellen stationäre Interferenzerscheinungen sichtbar werden.<sup>2</sup>

### Kohärenzfänge

„Die Kohärenzfänge ist in der Optik der maximale Weglängen- oder Laufzeitunterschied, den zwei Lichtstrahlen aus derselben Quelle haben dürfen, damit bei ihrer Überlagerung noch ein (räumlich und zeitlich) stabiles Interferenzmuster entsteht. Die Kohärenzfänge resultiert aus der zeitlichen Kohärenz und entspricht der optischen Weglänge, die das Licht während der Kohärenzzeit zurücklegt.“<sup>3</sup>

### F 2012 K, Aufgabe 4: Abbildung mit Linsen

- (a) (i) Gegenstand ist „unendlich“ weit weg, d. h. einfallendes Licht ist parallel  $\Rightarrow$  austretendes Licht ist parallel; Brennpunkte von Objektiv und Okular fallen zusammen

### BILD Konstruktion

(ii)

$$V = \frac{f_{\text{obj}}}{f_{\text{ok}}} \Rightarrow f_{\text{obj}} = \frac{1}{1.5} d_{\text{pt}} = \frac{2}{3} \text{ m} \quad \text{und} \quad f_{\text{ok}} = \frac{1}{26} d_{\text{pt}} = \frac{1}{26} \text{ m}$$

$$(\text{iii}) \text{ Sehwinkel OHNE Instrument: } \tan(\varepsilon_0) = \frac{G'}{f_{\text{obj}}}$$

$$\text{Sehwinkel mit Instrument: } \tan(\varepsilon_0) = \frac{G''}{f_{\text{obj}}}$$

$$[\text{MS13, S. 313}]: V = \frac{\tan(\varepsilon_m)}{\tan(\varepsilon_0)} = \frac{D_{\text{ok}}}{D_{\text{obj}}} \approx 17.3$$

$$L = f_{\text{ok}} + f_{\text{obj}} \approx 70.5 \text{ cm}$$

<sup>2</sup><http://de.wikipedia.org/wiki/Kohärenzfänge>

<sup>3</sup><http://de.wikipedia.org/wiki/Kohärenzfänge>

- (iv) [MS13, S. 19]: Umrechnung von Bogensekunden in rad  
 [MS13, S. 315]:  $\varepsilon = 0.61 \frac{\lambda}{r} = 1.22 \frac{\lambda}{d} \Rightarrow d = 1.22 \frac{\lambda}{\varepsilon} \approx 6.92 \text{ cm}$

### BILD Konstruktion

(ii)  $G \rightarrow B'$ : [MS13, S. 310]:  $\frac{1}{f} = \frac{1}{b} + \frac{1}{g} \Rightarrow b' = -f$

$$[\text{MS13, S. 310}]: \frac{B'_1}{G} = -\frac{b'_1}{g} \Rightarrow B'_1 = 2G$$

$$B'_1 \rightarrow B'_2: \text{ Planspiegel} \Rightarrow B'_2 = B'_1 = 2G \Rightarrow b'_2 = 2f$$

$$\underline{B'_2 \rightarrow B}: [\text{MS13, S. 310}]: \frac{1}{f} = \frac{1}{b} + \frac{1}{g} \Rightarrow \frac{1}{b} = \frac{1}{f} - \frac{1}{g}$$

mit  $g = b'_2 = 2f$  folgt:  $b = 2f$

$$\text{mit } \frac{B}{G} = -\frac{b}{g} \text{ und } G = B'_2 \text{ und } g = g'_2 = b'_2 = 2f \text{ folgt: } B = -2G$$

Abstand von Gegenstand und Bild:  $g - b = g - 2f = -45 \text{ cm}$

### H2012 K, Aufgabe 3: Reflexionsgitter

(a) [HH02, S. 57] und  $k = 1$ :  $|b \sin(\vartheta)| = k\lambda \Rightarrow b \approx 1.545 \mu\text{m}$  und  $\vartheta_{\text{rot}} \approx 24.87^\circ$

(b) [MS13, S. 299]:  $\frac{\sin(\alpha)}{\sin(\beta)} = \frac{c_1}{c_2} = \frac{n_2}{n_1} \Rightarrow \frac{\sin(\theta_n)}{\sin(\theta)} = \frac{1}{n}$

$$[\text{MS13, S. 272}]: c = \lambda f \Rightarrow c_n = \lambda_n f \Rightarrow \frac{\lambda_1}{\lambda_2} = \frac{n_2}{n_1} \Rightarrow \lambda = n \lambda_n$$

$$[\text{HH02, S. 57}]: b \sin(\vartheta_n) = \lambda_n$$

$$\Rightarrow \lambda = n \lambda_n = n b \sin(\vartheta_n) = n b \frac{\sin(\vartheta)}{n} = b \sin(\vartheta)$$

Dielektrikum ändert Wellenlänge:  $\lambda = n \lambda_n$   
 senkrecht einfallender Strahl wird NICHT gebrochen, nur ausfallender:  $\frac{\sin(\vartheta_n)}{\sin(\vartheta)} = \frac{1}{n}$   
 Die beiden Effekte heben sich auf.

(c)  $\vartheta = \arcsin\left(\frac{\lambda}{d}\right) = \gamma$ , da  $\lambda > d \Rightarrow \frac{\lambda}{d} > 1$

aus (c) gilt:  $\lambda = n d \sin(\vartheta_n) \Rightarrow \vartheta_n \approx 51.4^\circ$

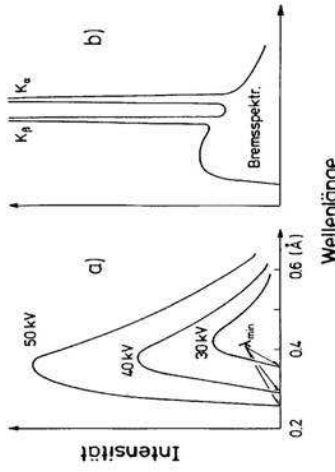
$\Rightarrow$  Interferenz innerhalb des Dielektrikums möglich.

$$\vartheta_{\text{grenz}} = \arctan(1) = 45^\circ < 51.4^\circ$$

$\Rightarrow$  nach Reflexion am Gitter folgt Totalreflexion am Dielektrikum  
 $\Rightarrow$  Lichtstrahl kann Dielektrikum NICHT verlassen

(d) aus (c) folgt:  $\lambda = n d \sin(\vartheta_n) \Rightarrow \frac{\lambda}{nd} = \sin(\vartheta_n) \leq 1$

(e) [MS13, S. 307]: Brewster-Gesetz:  $\tan(\varphi) = n$   
 Beim Auftreffen eines Lichtstrahls natürlichen Lichts unter dem Polarisationswinkel auf



zwei Anteile:

- charakteristische Linien: [MS13, S. 358]: Mosley-Gesetz
- Bremspektrum (kontinuierlicher Untergrund)
- (c) [MS13, S. 357]:  $\lambda_{\min} = \frac{hc}{\mathcal{U}} \approx 35.4 \text{ pm}$

negative Beschleunigung der Elektronen beim Auftreffen auf das Target  $\Rightarrow$  Emission elektromagnetischer Wellen

(d) [HH02, S. 64]:  $\lambda = \frac{1}{\frac{3}{4}R(Z-1)^2} \Rightarrow \lambda_{\text{Cu}} \approx 154 \text{ pm}$  und  $\lambda_{\text{Mo}} \approx 72.3 \text{ pm}$

- (e) „-1“ ist eine materialspezifische Konstante und besagt eine Abschirrmung des Kernpotentials durch restliche Elektronen in der Hülle

(f) [MS13, S. 354]:  $E = h f \approx 3.31 \text{ eV}$

$$\lambda = \frac{c}{f} = 35 \text{ pm} \leftrightarrow \lambda_{\text{Cu}} \approx 154 \text{ pm}$$

$$E_{\text{Cu}} = \frac{hc}{\lambda_{\text{Cu}}} \approx 8.05 \text{ keV}$$

$\rightarrow$  Photonenenergie von Cu beträgt ein Vielfaches/ist sehr groß gegenüber der Photonenenergie bei THz-Strahlung  
 $\rightarrow$  DNS wird durch THz-Strahlung NICHT zerstört, da Energie sehr gering

### F2013 M, Aufgabe 1: Spektrallinien des Wasserstoffatoms

(a) Balmerserie,  $n = 2 \nearrow$

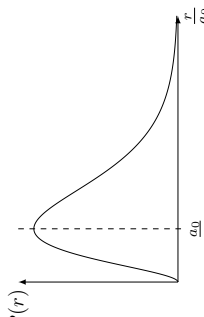
$$[\text{MS13, S. 338}]: \nu = R_H \left( \frac{1}{2^2} - \frac{1}{m^2} \right) \quad (m = 3, 4, 5, \dots)$$

$$\lambda = \frac{1}{\nu}$$

$$[\text{MS13, S. 337}]: R_H = 1.0967758 \cdot 10^7 \frac{1}{\text{m}}$$

$$\lambda_{\max} = \frac{1}{R_H \left( \frac{1}{2^2} - \frac{1}{3^2} \right)} \approx 656 \text{ nm} \rightsquigarrow \text{rot, sichtbarer Bereich ([MS13, S. 304])}$$

$$\lambda_{\min} = \lim_{m \rightarrow \infty} \frac{1}{R_H \left( \frac{1}{2^2} - \frac{1}{m^2} \right)} = \frac{4}{R_H} \approx 365 \text{ nm} \rightsquigarrow \text{ultraviolet, NICHT-sichtbarer Bereich ([MS13, S. 304])}$$



$$\frac{dP(r)}{dr} \stackrel{!}{=} 0 \iff r = \frac{a_0}{z}$$

$|\Psi_1|^2$  hat Maximum bei  $r = 0$  (siehe Graph)

(c) Ca<sup>19+</sup>  $\longrightarrow$   $r = \frac{a_0}{20}$   $\longrightarrow$  Extremwert

$$Z_{\text{Ca}} = 20 \xrightarrow{\text{(b)}} r = \frac{a_0}{20} \longrightarrow \text{Extremwert}$$

$$r_H = 20 \cdot r_{\text{Ca}}, \text{ da } Z_H = \frac{1}{20} Z_{\text{Ca}}$$

$$(d) [\text{MSI3, S. 336}]: |E| = \frac{1}{8} \cdot \frac{n_e Z^2 e^4}{\varepsilon_0^2 n^2 h^2} = 0.14 e^2$$

Ruheenergie  $\implies n = 1$  und es folgt:  $Z \approx 61.28 \stackrel{\wedge}{=} 61 \text{ pm}$

$$(e) [\text{MSI3, S. 332}]: r \approx \sqrt[3]{\frac{3M}{4\pi \rho N_A}} \approx 2.0 \text{ nm}$$

$$[\text{MSI3, S. 50}]: \varrho_{\text{Pm}} = 7.22 \frac{\text{kg}}{\text{m}^3}$$

$$r_K = r_0 \cdot A^{\frac{1}{3}}$$

$$\text{und mit } A = Z + N, Z_{\text{Pm}} = 61 \text{ und } A_{\text{Pm}} = 147 \text{ ([MSI3, S. 386]) folgt:}$$

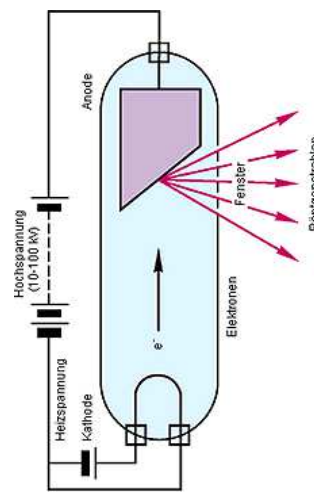
$$r_K \approx 6.86 \cdot 10^{-15} \text{ m}$$

$$P(r_K) \approx 2.84 \cdot 10^8 \text{ und } P(0) = 0$$

$$W(r \leq r_K) = \frac{1}{2} r_K \cdot P(r_K) \approx 9.74 \cdot 10^{-7}$$

## H 2012 M, Aufgabe 2: Röntgenröhre und Bodyscanner

(a) Röntgenröhre<sup>4</sup>



(b) Röntgenspektrum<sup>5</sup>

<sup>4</sup><http://www.ph2.Physik.uni-goettingen.de/Bilder.Theorie/roentgen.gif> (Zugriff am 20.02.2015)  
<sup>5</sup>[https://www.uni-due.de/physik/ap/labe/roentgen\\_b10/roentgenspektrum.jpg](https://www.uni-due.de/physik/ap/labe/roentgen_b10/roentgenspektrum.jpg) (Zugriff am 20.02.2015)

die Grenzfläche stehen reflektierter und gebrochener Strahl aufeinander senkrecht. Der reflektierte Strahl ist vollkommen linear polarisiert.  
 $\implies$  Lichtstrahl in der Ebene aus Einfallslot und einfallendem Strahl polarisiert, dann ist die Reflexion minimal (vgl. Dipolstrahlung an der Grenzfläche)

$$\tan(\varphi) = 1.6 \implies \varphi \approx 58.0^\circ$$

Ursprung: Dipolstrahlung an der Grenzschicht lässt Reflexionsrichtung für diese Polarisation NICHT zu

## F 2013 K, Aufgabe 4: Strahlenoptik: Reflexion und Brechung

(a) [MSI3, S. 209]:  $n_1 \sin(\alpha) = n_2 \sin(\beta)$

$$\implies \beta_1 \approx 39^\circ \text{ und } \beta_2 \approx 53^\circ$$

(b) [MSI3, S. 209]:  $n_W \sin(\alpha) = n_L \sin(\beta) = \sin(\beta)$

$$\begin{aligned} \text{Totalreflexion: } \sin(\beta) &= 1 \implies \alpha \approx 48.75^\circ \\ \tan(\alpha) &= \frac{r}{l} \implies r \approx 2.85 \text{ m} \end{aligned}$$

auf der Oberfläche des Kreises: Totalreflexion an der Wasseroberfläche

(c) Licht wird in Abhängigkeit von der Wellenlänge (Farbe) unterschiedlich stark gebrochen. Rand ist rot, da dieses Licht am stärksten gebrochen wird beim Übergang Luft  $\rightarrow$  Wasser.

alternativ:  $n$  abhängig von  $\lambda$ ;  $\varphi$  abhängig von  $n$  und somit von  $\lambda$ ;  $r$  abhängig von  $\varphi$   
 $R_{\text{max}} = t \tan(\alpha_{G,\text{max}}); \sin(\alpha_{G,\text{max}}) = \frac{1}{n_{W,\text{min}}}; n_{W,\text{min}}$  bei  $\lambda = 687 \text{ nm}$  (rot)  
 $\implies$  äußerer Rand ( $R_{\text{max}}$ ) ist rot

(d) [MSI3, S. 307]:  $\tan(\varphi) = n_W \implies \varphi \approx 53.1^\circ$

horizontale Polarisierung wird reflektiert  $\implies$  das muss Brille filtern

$$n_L \sin(\varphi) = n_W \sin(\beta)$$

$$\text{mit } \tan(\beta) = \frac{x_2}{l} \text{ folgt: } x_2 \approx 1.88 \text{ m}$$

$$\tan(90^\circ - \varphi) = \frac{h}{x_1} \implies x_1 \approx 2.926 \text{ m}$$

$$\implies x_{\text{horiz}} = x_1 + x_2 \approx 4.81 \text{ m}$$

(e) heiße Luftsicht an Boden hat kleinere Brechzahl als Lufschicht darüber  $\implies$  Lichtstrahlen (von oben) werden totalreflektiert

## H 2013 K, Aufgabe 3: Abbildung durch eine Linse

### BILD Konstruktion

(a)

(b) [MSI3, S. 309]:  $\frac{1}{f} = \frac{1}{b} + \frac{1}{g}$

$$\text{mit } \beta = \frac{b}{g} \text{ folgt: } b = 20 \text{ cm} = g \text{ und } \beta = -1$$

$\rightsquigarrow$  reelles Bild, umgedreht

$$(c) n_W \sin(\alpha) = \underbrace{n_L \sin(\beta)}_{=1} \implies \beta \approx 67^\circ$$

$$(d) n_W \sin(\alpha) = \sin(\beta) \stackrel{!}{=} 1 \iff \alpha_g \approx 50.28^\circ$$

$$\tan(\alpha) = \frac{G}{g} \implies \alpha = 26.6^\circ \implies \text{Drehwinkel } \gamma = \alpha_g - \alpha = 23.7^\circ$$

Bild durch Reflexion für alle  $\alpha > 26.6^\circ$

- (e)  $g = 2f$ , das heißt, Brennstrahl gibt immer vor, dass  $G = B \rightarrow$  unabhängig von der Grenze des Mediums

$$n_W \sin(\alpha) = \sin(\beta)$$

$$\tan(\alpha) = \frac{G}{f} \implies \alpha = \arctan\left(\frac{G}{f}\right)$$

$$\implies \beta = \arcsin\left(n_W \sin\left(\arctan\left(\frac{G}{f}\right)\right)\right)$$

$$\tan(\beta) 0 \frac{B}{B-f} \implies b \approx 17.67 \text{ cm}$$

(d) **MERKE:**

Für jedes  $n$  gilt:  $l = 0, 1, \dots, n-1 \implies n$  verschiedene Werte

Für jedes  $l$  gilt:  $m_l = 0, \pm 1, \dots, \pm l \implies (2l+1)$  verschiedene Werte

$$\implies \text{gesamte Entartung: } \underbrace{2}_{\text{Spin}} \cdot \sum_{l=0}^{n-1} (2l+1) = 2 \cdot \left(2 \frac{(n-1)n}{2} + n\right) = 2n^2$$

- (e) 1. Hauptgruppe: Li, Na, K, Cs  $\rightarrow$  1 Valenzelektron  $\implies$  Kernladungszahl 1 (MSI3, S. 352)

2. Hauptgruppe: Be, Mg, Ca, Ba  $\rightarrow$  2 Valenzelektronen  $\implies$  Kernladungszahl 2

$$(f) [\text{MSI3, S. 336f}]: E_n = -\underbrace{13.6 \text{ eV}}_{\text{Rydberg-E.}} \cdot \frac{Z^2}{n^2} = -\frac{1}{n^2} R'_\infty \implies \text{kleinste Ionisierungsenergie besitzt}$$

Li mit  $z = 3$  und  $n = 2$ .

$$[\text{MSI3, S. 332}]: r \approx \sqrt[3]{\frac{3M}{4\pi \rho N_A}} \implies \text{größter Atonradius ist bei Ba zu finden, da } m_{\text{Ba}} = 137.327 \text{ u die größte Masse darstellt.}$$

**F 2012 M, Aufgabe 3: Wasserstoffähnliche Ionen**

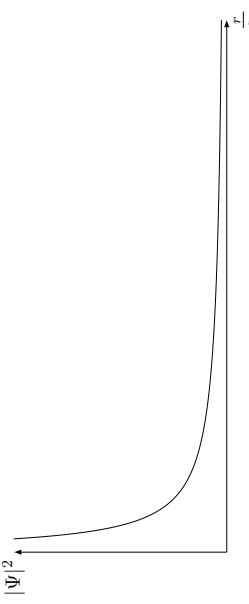
- (a) [MSI3, S. 339]:  $\Psi_1$ : Schrödingergleichung ist eine Wellenfunktion, welche sich aus dem Produkt von Kugelflächenfunktionen und Radialfunktionen zusammensetzt

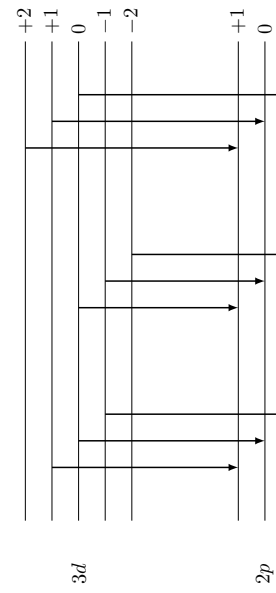
- [MSI3, S. 341]:  $|\Psi_1|^2$ : Wahrscheinlichkeit, dass das Elektron im Volumenelement  $d^3r$  zu finden ist  $\sim$  Aufenthaltswahrscheinlichkeit

- $P(r) dr = 4\pi r^2 |\Psi_1|^2 dr$ : Wahrscheinlichkeit, dass das Elektron im Abstand zwischen  $r$  und  $r+dr$  vom Kern zu finden ist

$$(b) P(r) dr = 4\pi r^2 \left| \frac{1}{\pi} \left( \frac{Z}{a_0} \right)^3 \exp\left(-\frac{2Zr}{a_0}\right) \right| dr$$

$$\implies P(r) \propto r^2 \exp(\dots) \rightsquigarrow \text{Parabel} \implies |\Psi_1|^2 \propto \exp(\dots)$$





$$\Delta m_l = 0 \quad \Delta m_l = +1 \quad \Delta m_l = -1$$

(e) Es gelten:

- $m_l = -l, \dots, +l$
- $m_s = \pm \frac{1}{2} = -s, \dots, +s$
- $m_j = -j, \dots, +j = -|l-s|, \dots, |l+s|$
- $j = |l-s|, \dots, |l+s|$

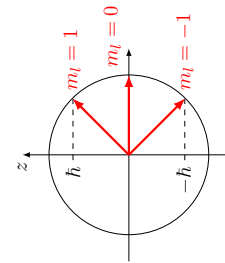
- (i)  $l = 0; s = 0 \Rightarrow |l-s| = |l+s| = 0 \Rightarrow m_j = 0 \Rightarrow$  KEINE Aufspaltung  
 (ii)  $l = 1; s = 0 \Rightarrow |l-s| = |l+s| = 1 \Rightarrow m_j = 0, \pm 1 \Rightarrow$  3 Komponenten  
 (iii)  $l = 0; s = \frac{1}{2} \Rightarrow |l-s| = |l+s| = \frac{1}{2} \Rightarrow m_j = \pm \frac{1}{2} \Rightarrow$  2 Komponenten

#### F 2012 M, Aufgabe 1: Quantenzahlen und Atomspektren

(a) [MS13, S. 344]:  $l = 1 \Rightarrow m_l = 0, \pm 1$

**MERKE:**  $|\vec{L}| = \hbar \sqrt{l(l+1)} \approx 1.49 \cdot 10^{-34} \text{ Js}$

(b) Vektordiagramm:



- (c)  $m_l = 0, \pm 1, \pm 2$   
 $\vec{L}^2 = \hbar^2 l(l+1) \approx 6.67 \cdot 10^{-68} \text{ J}^2 \text{s}^2$

**MERKE:**  $L_z = m_l \cdot h \Rightarrow \max(L_z^2) = 4h^2$

**MERKE:**  $\vec{L}^2 = L_x^2 + L_y^2 + L_z^2 \Rightarrow \min(L_x^2 + L_y^2) = \vec{L}^2 - \max(L_z^2) = 2h^2$

#### IV Wärmelehre

##### F 2010 K, Aufgabe 2: Ideale Gase in Flaschen

$$V = 501 = 0.05 \text{ m}^3; \text{He}, N_2; \vartheta = -3.0^\circ \text{C} \triangleq 270.15 \text{ K} = T$$

- (a) He,  $\vartheta_R = 27.0^\circ \text{C} \triangleq 297.15 \text{ K} = T_R$ ,  $\Delta p = 10 \text{ bar}$   
 gesucht:  $p_1, F_1$  wirkt auf jede Teilfläche  $A = 2.0 \text{ cm}^2 = 2.0 \cdot 10^{-4} \text{ m}^2$   
 [MS13, S. 138]: isochore Zustandsänderung, da  $V = \text{const.}$

$$(i) \frac{p_1}{T_1} = \frac{p_2}{T_2}$$

- (ii)  $\Delta p = p_2 - p_1 = 10 \text{ bar} \Rightarrow p_2 = p_1 + 10 \text{ bar} = p_1 + \Delta p$   
 $\Rightarrow \frac{p_1}{T} = \frac{p_1 + \Delta p}{T_R - \bar{T}} = \dots \approx 100 \text{ bar}$

$$[\text{MS13, S. 58}]: p = \frac{F}{A} \Rightarrow F = p \cdot A \Rightarrow F_1 = p_1 \cdot A = \dots = 2000 \text{ N} = 2.0 \text{ kN}$$

(b) gesucht:  $N_{\text{He}}$  und  $m_{\text{He}}$

$$[\text{HH02, S. 36}]: pV = NkT \Rightarrow N = \frac{pV}{kT} \Rightarrow N_{\text{He}} = \frac{p_{\text{He}}V}{kT_{\text{He}}} = \dots \approx 1.34 \cdot 10^{26}$$

$$N_{\text{He}} = \frac{m_{\text{He}}}{m_{\text{Atom}}} \Rightarrow m_{\text{He}} = N_{\text{He}} \cdot m_{\text{Atom}}$$

mit  $m_{\text{Atom}} = 4.0026 \text{ u}$  folgt  $m_{\text{He}} \approx 0.891 \text{ kg} \approx 0.89 \text{ kg}$

$$(c) [\text{HH02, S. 35}]: \bar{v}^2 = \frac{3RT}{M_m} = \frac{3RT}{M_{\text{He}}} \Rightarrow \bar{v} = \sqrt{\frac{3RT}{M_{\text{He}}}} = \dots \approx 1297 \frac{\text{m}}{\text{s}} \approx 1.3 \frac{\text{km}}{\text{s}}$$

$$[\text{HH02, S. 35}]: \bar{E}_{\text{kin}} = \frac{3}{2} kT = \dots \approx 5.59 \cdot 10^{-21} \text{ J} \approx 5.6 \cdot 10^{-21} \text{ J}$$

#### H 2010 K, Aufgabe 1: Geothermie

$$[\text{MS13, S. 124}]: c_V(\text{He}) = 3.209 \cdot 10^3 \frac{\text{J}}{\text{kg K}}$$

$$[\text{MS13, S. 138}]: \Delta Q = c_V m_{\text{He}} (T_R - T) = \dots \approx 77.2 \text{ kJ} \approx 77 \text{ kJ}$$

- (d) Ideales Gas geht von ausdehnungsgeslozen Teilchen aus  $\Rightarrow p, N$  bleiben gleich;  
 $\bar{E}_{\text{kin}}, \bar{v}, \Delta Q$  ändern sich, weil sich die Masse ändert ( $m_{\text{He}} \neq m_{\text{N}_2}$ ) und bei  $\text{N}_2$  noch zwei Rotationsfreiheitsgrade dazukommen

- (e)  $c_p > c_V$ , da bei  $c_p$  der Druck konstant ist, sich aber das Volumen ändert und somit Arbeit verrichtet wird

$$\vartheta_G = 95^\circ \text{C} \triangleq 368.15 \text{ K} = T_G; \vartheta_W = 14^\circ \text{C} \triangleq 287.15 \text{ K} = T_W; 130 \frac{\text{kg}}{\text{mm}} = \frac{13}{6} \frac{\text{kg}}{\text{s}} \cdot 1^\circ \text{C pro 25 m}$$

- (a) Tiefe:  $h := \frac{95^\circ \text{C} - 14^\circ \text{C}}{10^\circ \text{C}} \cdot 25 \text{ m} = 2025 \text{ m}$   
 Druck: mit [MS13, S. 95] gilt:  $p = p_{\text{Luft}} + p_h = p_{\text{Luft}} + \varrho \cdot g \cdot h = \dots \approx 200 \text{ bar}$

$$(b) [\text{MS13, S. 143}]$$

**V Aufbau der Materie I – Quanten, Atome und Moleküle**(c) [MSI3, S. 144]:  $\eta = \frac{T_L - T_B}{T_L} = \frac{T_G - T_W}{T_G} = \dots \approx 22\%$ Begründung: [MSI3, S. 144]:  $\eta = \frac{|W|}{Q_1}$  mit [MSI3, S. 143]:  $Q = \frac{m}{M} RT \ln \left( \frac{V_f}{V_i} \right)$  folgt:

$$\eta = \frac{\frac{m}{M} R(T_G - T_W) \ln \left( \frac{V_W}{V_G} \right)}{\frac{m}{M} RT_G \ln \left( \frac{V_W}{V_G} \right)} = \frac{T_G - T_W}{T_G} = 1 - \frac{T_W}{T_G}$$

⇒ KEIN höherer Wirkungsgrad möglich

(d) [MSI3, S. 75]:  $P = \frac{W}{t} = \frac{Q}{t} = \frac{cv m(T_G - T_W)}{t} = cv(T_G - T_W) \cdot \frac{m}{t} = \dots \approx 0.734 \text{ MW} \approx 0.73 \text{ MW}$ mit [MSI3, S. 138]:  $Q = cv m(T_2 - T_1)$ , [MSI3, S. 123]:  $c_V = 4.18 \cdot 10^3 \frac{\text{J}}{\text{kg K}}$ [MSI3, S. 75]:  $\eta = \frac{P_L}{P_i} = \frac{P_{\max}}{P_i} \Rightarrow P_{\max} = \eta \cdot P = \dots \approx 0.161 \text{ MW} \approx 0.16 \text{ MW}$ 

Gründe, warum die Leistung in der Praxis NICHT erreicht wird:

- Verluste in der Maschine selbst (Reibung, Wärme)

- Verluste über reale Wärmerückleitung

(e) [MSI3, S. 144]:  $\eta = \frac{|W|}{t} = \frac{Q_{ab} - Q_{auf}}{Q_{auf}} \Rightarrow \eta \cdot Q_{auf} = Q_{ab} - Q_{auf} \Rightarrow Q_{auf} = \frac{Q_{ab}}{\eta + 1}$ mit [MSI3, S. 75]:  $P = \frac{W}{t} = \frac{Q}{t}$  und  $t = 86400 \text{ s} = 1 \text{ d}$  folgt:

$$Q_{auf} = \frac{P \cdot t}{\eta + 1} = \dots \approx 5.2 \cdot 10^{10} \text{ J} = 52 \text{ MJ}$$

**F2011 K, Aufgabe 3: Flüssigkeitskalorimeter**(a)  $dQ$  pro Gas-Massenelement;  $m, C_k, T_1, T_2, T_E$ [MSI3, S. 120]:  $dQ = cm \Delta t \Rightarrow \frac{dQ}{dm} = c \cdot \Delta t \quad (*) \Rightarrow dQ = c \Delta t dm$ 

$$dQ = C dt \quad (**)$$

Mit (\*) und (\*\*) folgt:

$$\Delta E = \mu_B \cdot B$$

$$c \Delta t dm = C dt$$

$$\Rightarrow c dm = \frac{C}{\delta t} dt$$

$$\Rightarrow c \cdot \int_0^m dm = C \cdot \int_{T_E - T_2}^{T_E - T_1} \frac{1}{\delta t} dt$$

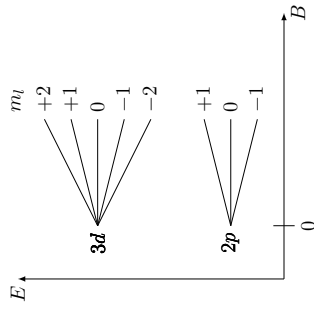
$$\Rightarrow cm = C \cdot \ln \left( \frac{T_E - T_1}{T_E - T_2} \right)$$

$$\Rightarrow c = \frac{C}{m} \ln \left( \frac{T_E - T_1}{T_E - T_2} \right)$$

- (b) Kalorimeter üblicherweise offen gegenüber Atmosphärendruck, also  $p = \text{const} \Rightarrow c_p$

**F2011 M, Aufgabe 1: Atome im Magnetfeld**(a)  $p$ - und  $d$ -Zustand

$$\begin{array}{c|c|c} & p\text{-Zustand} & d\text{-Zustand} \\ \hline l=3 & \Rightarrow m_l = 0; \pm 1 & l=2 \Rightarrow m_l = 0; \pm 1; \pm 2 \\ L=\hbar\sqrt{l(l+1)} & = \hbar\sqrt{3} & L=\hbar\sqrt{6} \\ L_z=\hbar m_l & = 0; \pm \hbar & L_z=0; \pm \hbar; \pm 2\hbar \\ \text{Entartung: } 2 \cdot 1 + 1 = 3 & & \end{array}$$

(b) Skizze

- (c)  $\mu_z = \frac{e}{2m_e} \cdot \hbar \cdot m_l$   
 $p\text{-Zustand} \Rightarrow m_l = 0, \pm 1$   
 $E = \mu_z \cdot B$
- $$\Delta E = B \cdot \left( \frac{e}{2m_e} \cdot \hbar (1 - (-1)) \right) = B \hbar \cdot \frac{e}{m_e} \approx 2.78 \cdot 10^{-23} \text{ J} \approx 1.74 \cdot 10^{-4} \text{ eV}$$
- (d)  $d\text{-Zustand} \xrightarrow{\text{optisch}} p\text{-Zustand} \Rightarrow 3 \text{ Linien (Zeeman-Effekt); } B = \text{const}$   
 $3 \text{ Linien, da Übergangsgesetzen zu } \Delta m_l = 0, \Delta m_l = 1 \text{ und } \Delta m_l = -1 \text{ jeweils gleich groß sind (Lorentz-Triplett)}$

Erwärmung des Wassers von 0°C auf 13°C: [MSI3, S. 123]:  $Q_E = c_Q m_0 \Delta\vartheta \approx 9.97 \cdot 10^{10} \text{ kJ}$   
 $\Rightarrow Q_{\text{ges}} = Q_s + Q_E \approx 7 \cdot 10^{14} \text{ J}$

(b) [MSI3, S. 143f]: Carnot-Prozess

aufgenommene Wärme bei  $T_1$  ( $Q_1 > 0$ ):  $Q_1 = \frac{m}{M} RT_1 \ln \left( \frac{V_B}{V_A} \right)$   
 abgegebene Wärme bei  $T_2$  ( $Q_2 < 0$ ):  $Q_2 = \frac{m}{M} RT_2 \ln \left( \frac{V_C}{V_B} \right)$

Wirkungsgrad:  $\eta = \frac{Q_1 + Q_2}{Q_1} = \frac{|W|}{Q_1}$  oder  $\eta = \frac{T_1 - T_2}{T_1}$   
 $\rightarrow$  klassischer Carnot-Prozess (im Uhrzeigersinn – rechtsläufig)

[MSI3, S. 75]:  $\eta_{\text{Dampf}} = \frac{W_{\text{nutz}}}{W_{\text{zu}}} \quad \text{oder} \quad \eta_{\text{Dampf}} = \frac{E_{\text{nutz}}}{E_{\text{zu}}}$ .

Hierbei ist  $E_{\text{zu}}$  die thermische- und  $E_{\text{nutz}}$  die mechanische Energie. Bei mechanischen Vorgängen treten nahezu immer Reibungsverluste auf, welche den Wirkungsgrad somit herabsetzen. Der Carnot-Prozess ist ein idealisiertes Modell.

(c)  $m = 20 \text{ g}; \vartheta_E = 59.0^\circ \text{C} \triangleq 332.15 \text{ K} = T_E; C_k = 3100 \frac{\text{J}}{\text{K}}; \vartheta_1 = 25.0^\circ \text{C} \triangleq 298.15 \text{ K};$   
 $\vartheta_2 = 28.0^\circ \text{C} \triangleq 301.15 \text{ K}$

Mit (a) gilt:

$$c = \dots \approx 14.3 \frac{\text{J}}{\text{g}\text{K}}$$

(d)  $\varrho = 0.083 \frac{\text{kg}}{\text{m}^3}; \vartheta = 27.0^\circ \text{C} \triangleq 300.15 \text{ K} = T; p = 101.3 \cdot 10^3 \text{ Pa}$

$$\varrho = \frac{m}{V} \Rightarrow V = \frac{m}{\varrho} \Rightarrow [\text{MSI3, S. 118}]: p \frac{m}{\varrho} = nRT \Rightarrow \frac{m}{n} = \frac{\varrho RT}{p} = \dots \approx 2.04 \frac{\text{kg}}{\text{mol}}$$

[MSI3, S. 117]:  $M = \frac{m}{n}$

$\Rightarrow [\text{MSI3, S. 122}]: C_m = cM = c \frac{m}{n} = \dots \approx 29.24 \frac{\text{J}}{\text{molK}} \approx 29.2 \frac{\text{J}}{\text{molK}}$

$$(e) [\text{MSI3, S. 168}]: c_p = \left( \frac{1}{2} f + 1 \right) \frac{R}{M}$$

$$\Rightarrow c_p \frac{M}{R} = \frac{1}{2} f + 1 \Rightarrow 2c_p \frac{M}{R} - 2 = f \Rightarrow f = \dots \approx 5.02 \approx 5$$

$\Rightarrow$  2-atomiges Gas, wegen 5 Freiheitsgraden (3 Translation, 2 Rotation)

(f) tiefe Temperaturen  $\Rightarrow$  Rotationsfreiheitsgrade werden eingefroren  $\Rightarrow$  Freiheitsgrad ver- ringern sich  $\Rightarrow$  Wärmekapazität sinkt

komplettes Einfrieren aller Freiheitsgrade ist nach Heisenbergscher Unschrärferektion VERBOTEN, selbst wenn absoluter Nullpunkt erreicht werden könnte, hätte das Molekül noch eine gewisse Nullpunktenergie

## H 2011 K, Aufgabe 2: Barometrische Höhenformel

(a) [MSI3, S. 118]:  $pV = \frac{m}{M_{\text{mol}}} RT \Rightarrow \frac{1}{p} = \frac{VM_{\text{mol}}}{mRT}$

mit [MSI3, S. 48]:  $\varrho = \frac{m}{V} \Rightarrow m = \varrho V$  folgt:  $\frac{1}{p} = \frac{M_{\text{mol}}}{\varrho RT}$

mit [MSI3, S. 95]:  $dp = -g dz \Rightarrow \frac{1}{p} = -g \frac{dz}{RT}$  folgt:

$$\frac{1}{p} = -\frac{M_{\text{mol}} g}{RT} \frac{dz}{dp} \Rightarrow \frac{dp}{p} = -\frac{M_{\text{mol}} g}{RT} dz$$

$$(b) [\text{MSI3, S. 142}]: \frac{T_1}{T_2} = \left( \frac{p_1}{p_2} \right)^{\frac{\kappa-1}{\kappa}} \Rightarrow \frac{T_2^\kappa}{T_1^\kappa} = \frac{p_1^{1-\kappa}}{p_2^{1-\kappa}} \Rightarrow T^\kappa p^{1-\kappa} = \text{const}$$

totales Differential [Rot91, S. 131]):  $0 = \frac{\partial}{\partial p} (T^\kappa p^{1-\kappa}) dp + \frac{\partial}{\partial T} (T^\kappa p^{1-\kappa}) dT$

$$0 = (1 - \kappa) T^\kappa p^{1-\kappa-1} dp + \kappa T^{\kappa-1} p^{1-\kappa} dT$$

$$\stackrel{(p,T)}{\Rightarrow} (\kappa - 1) \frac{dp}{p} = \kappa \frac{dT}{T} \Rightarrow \frac{dp}{p} = \frac{\kappa}{\kappa-1} \frac{dT}{T} \quad \checkmark$$

(c) Adiabatische Expansion ist ein Vorgang, bei dem ein System von einem Zustand in einen anderen überführt wird, OHNE Wärme mit seiner Umgebung auszutauschen.  
[MSI3, S. 141]:  $dQ = 0$

$$[\text{MSI3, S. 124}]: \kappa = \frac{c_p}{c_V} \Rightarrow \kappa_{\text{Luft}} = 1.402$$

$$(d) Setze (a), also  $-\frac{M_{\text{mol}} g}{RT} dz = \frac{\kappa}{\kappa-1} \frac{dT}{T} \Rightarrow \frac{dT}{dz} = -9.74 \frac{\text{K}}{\text{m}}$$$

(e) Mit (a) folgt:

$$\int_{p_0}^p \frac{1}{p} dp = \int_0^z -\frac{M_{\text{mol}} g}{RT} dz$$

$$\ln\left(\frac{p}{p_0}\right) = -\frac{M_{\text{mol}} g}{RT} \cdot z$$

$$\Rightarrow p(z) = p_0 \cdot \exp\left(-\frac{M_{\text{mol}} g}{RT} \cdot z\right)$$

### F 2012 K, Aufgabe 2: Fahrradreifen

- (a) (1)  $\frac{V}{T} = \text{const}$   $\rightarrow$  isobare Zustandsänderung; ideale Gase
- (2)  $p \cdot V^\kappa = \text{const}$   $\rightarrow$  adiabatische Zustandsänderung; ideale Gase
- (3)  $p \cdot V = \text{const}$   $\rightarrow$  isotherme Zustandsänderung; ideale Gase

grundlegende Modellannahme:

- Wechselwirkung der Teilchen ausschließlich durch elastische Stoße
- ideale Gas: 1 bar, 300 K
- Teilchen haben KEIN Eigenvolumen
- [MSI3, S. 118] bzw. [HH02, S. 36]:  $pV = NkT = nRT$

(b) Gas ist thermisch isoliert  $\rightsquigarrow$  KEIN Wärmeaustausch, d. h.  $Q = 0$

$$(c) V_{\text{Pumpe}} = \left(\frac{1}{2}d\right)^2 \pi h \approx 0.31 \text{ dm}^3$$

$$[MSI3, S. 142]: p_0 V_0^\kappa = p_1 V_F^\kappa \Rightarrow V_0^\kappa = \frac{p_1 V_F^\kappa}{p_0}$$

$$[MSI3, S. 124]: \kappa = \frac{c_p}{c_v} \approx 1.4$$

$$\Rightarrow V_0 = \sqrt[\kappa]{V_0^\kappa} \approx 4.5 \text{ dm}^3$$

$$V_0 = V_F + \Delta V = V_F + n \cdot V_{\text{Pumpe}} \Rightarrow n = \frac{V_0 - V_F}{V_{\text{Pumpe}}} \approx 7.9 \Rightarrow 8 \text{ Pumpkübe}$$

$$(d) [MSI3, S. 142]: \frac{T_0}{T_1} = \left(\frac{p_0}{p_1}\right)^{\frac{1}{\kappa}} \Rightarrow T_1 \approx 394 \text{ K} \triangleq 121^\circ \text{C}$$

(e)  $\vartheta_a = 25^\circ \text{C} \triangleq 298.15 \text{ K} = T_K \rightarrow$  isochore Zustandsänderung

$$[MSI3, S. 117]: p_2 = \frac{p_1 T_a}{T_1} \approx 2.3 \text{ bar}$$

(f) Adiabatenexponent ändert sich auf  $\kappa \approx 1.6$  ([MSI3, S. 124]), also folgt:

- $n: \downarrow$
- $\vartheta_1: \uparrow$
- $p_2: \downarrow$

### H 2012 K, Aufgabe 2: Wärmeaustausch

- (a) [MSI3, S. 128] und  $\varrho = \frac{m}{V}$ ;  $\vartheta_m \approx 306 \text{ K} \triangleq 32.4^\circ \text{C}$

(b) [MSI3, S. 140]:  $\Delta S_{\text{Cu}} = c_{\text{Cu}} m_{\text{Cu}} \ln\left(\frac{T_2}{T_1}\right) \approx -9.15 \frac{\text{J}}{\text{K}}$

$$\Delta S_{\text{Fe}} \approx 10.6 \frac{\text{J}}{\text{K}}$$

$$\Delta S_{\text{ges}} = \Delta S_{\text{Cu}} + \Delta S_{\text{Fe}} = 1.45 \frac{\text{J}}{\text{K}}$$

(c) 1. Hauptatz: [MSI3, S. 135]:  $\Delta U = Q + W$   
keine Wärme nach außen, das heißt,  $Q = 0$  und  $W = 0 \Rightarrow \Delta U = 0$  (geschlossenes System)

2. Hauptatz: Prozess ist irreversibel, da die Entropie des Systems wächst  $\rightsquigarrow \Delta S_{\text{ges}} = 1.45 \frac{\text{J}}{\text{K}}$

(d) [MSI3, S. 130]:  $R_{\text{ges}} = R_{\text{Cu}} + R_{\text{Fe}} = \left(\frac{1}{\lambda_{\text{Cu}}} + \frac{1}{\lambda_{\text{Fe}}}\right) \frac{l}{A} = 2 \frac{\text{W}}{\text{K}}$

(e) [MSI3, S. 129]:  $I = \frac{\Delta T}{R_{\text{ges}}} = 35 \text{ W}$

### F 2013 K, Aufgabe 2: Mischkalorimeter

(a) [MSI3, S. 128]:  $c_W m_1 (T_3 - T_1) + C_G (T_3 - T_1) = c_W m_2 (T_2 - T_3)$

$$\text{mit } m_1 = m_2 = m \text{ folgt: } C_G \approx 93 \frac{\text{J}}{\text{K}}$$

(b) mit (a) und  $T_W = T$  folgt:  $c_{\text{Blei}} \approx 0.13 \frac{\text{J}}{\text{gK}}$

(c) Temperatur des Phasenübergangs fest-flüssig:  $T_1 = 0^\circ \text{C}$   
[MSI3, S. 145]:  $Q_{\text{Eis}} = q_{\text{Eis}} m_{\text{Eis}}$   
[MSI3, S. 128]:  $c_W m_1 (T_3 - T_1) + C_G (T_3 - T_1) + q_{\text{Eis}} m_{\text{Eis}} = c_{\text{Blei}} m_{\text{Blei}} (T_{\text{Blei}} - T_3) \Rightarrow T_3 \approx 249.8 \text{ K} \triangleq -23.2^\circ \text{C}$

(d) analog (c) folgt:  $T_3 = 286 \text{ K} \triangleq 13.1^\circ \text{C}$   
 $\Rightarrow T_3 = 0^\circ \text{C}$

(e) [MSI3, S. 122]: Regel von Dulong Petit:  $C_m \approx \frac{6R}{2} \approx 25 \frac{\text{J}}{\text{K mol}}$  (\*) mit  $R$  als molare Gaskonstante  
[MSI3, S. 122]:  $C_m = \frac{c}{n} = cM = \frac{Q}{n \Delta T} = \frac{1}{n} \frac{dQ}{dT}$  (\*\*)

[MSI3, S. 122]:  $Q = C_m n \Delta t$   
aus (\*) und (\*\*) folgt:  $c = \frac{(*)}{(**)} \frac{C_m}{M} = \frac{(*)}{(**)} \frac{C_m n}{M}$

Sei  $n = 1 \text{ mol}$ . Dann folgt mit (\*):  $\frac{c_{\text{Blei}}}{c_{\text{Blei}}} \approx 0.13 \Rightarrow \frac{c_{\text{AL}}}{c_{\text{Blei}}} \approx 7.68$

### H 2013 K, Aufgabe 2: Eisberg

(a) [MSI3, S. 56]:  $\varrho_{\text{Eis}} = 0.917 \cdot 10^3 \frac{\text{kg}}{\text{m}^3} \Rightarrow m_0 = \varrho_{\text{Eis}} V_0 = 1.834 \cdot 10^9 \text{ kg}$

Schmelzvorgang: [MSI3, S. 148]:  $Q_s = q_{\text{Eis}} m_0 \approx 6.12 \cdot 10^{11} \text{ J}$